

168  
2e.



**UNIVERSIDAD NACIONAL AUTONOMA  
DE MEXICO**

FACULTAD DE QUIMICA



**EXAMENES PROFESIONALES  
FAC. DE QUIMICA**

**"IMPLEMENTACION DE ALGORITMOS DE  
ACELERACION EN UN PROGRAMA DE DINAMICA  
MOLECULAR DE CADENAS POLIMERICAS"**

**TESIS**

QUE PARA OBTENER EL TITULO DE:

**INGENIERO QUIMICO**

P R E S E N T A :

**JUAN ANDRES TORRES ROBLES**



**FACULTAD DE QUIMICA**

MEXICO, D. F. UNAM.

1998.



Universidad Nacional  
Autónoma de México



**UNAM – Dirección General de Bibliotecas**  
**Tesis Digitales**  
**Restricciones de uso**

**DERECHOS RESERVADOS ©**  
**PROHIBIDA SU REPRODUCCIÓN TOTAL O PARCIAL**

Todo el material contenido en esta tesis esta protegido por la Ley Federal del Derecho de Autor (LFDA) de los Estados Unidos Mexicanos (México).

El uso de imágenes, fragmentos de videos, y demás material que sea objeto de protección de los derechos de autor, será exclusivamente para fines educativos e informativos y deberá citar la fuente donde la obtuvo mencionando el autor o autores. Cualquier uso distinto como el lucro, reproducción, edición o modificación, será perseguido y sancionado por el respectivo titular de los Derechos de Autor.

PRESIDENTE	PROF. CASTAÑO MENESES VÍCTOR MANUEL
VOCAL	PROF. RAMOS MEJÍA AURORA DE LOS ANGELES
SECRETARIO	PROF. CRUZ GOMEZ MODESTO JAVIER
1ER SUPLENTE	PROF. JIMÉNEZ BEDOLLA JUAN CARLOS
2DO SUPLENTE	PROF. RIVERA MUÑOZ ERIC MAURICIO

SITIO DONDE SE DESARROLLÓ EL TEMA

FACULTAD DE QUÍMICA LAB 212 EDIF. E UNAM  
CIUDAD UNIVERSITARIA  
Y  
DEPARTAMENTO DE INGENIERIA QUIMICA 1415 ENGINEERING DRIVE  
UNIVERSITY OF WISCONSIN-MADISON



---

Dr. M. JAVIER CRUZ GOMEZ  
ASESOR



---

JUAN ANDRÉS TORRES ROBLES  
SUSTENTANTE

A mis padres.  
Porque, en primer lugar,  
yo sin ellos no  
estaría aquí  
en primer lugar.

A mi hermano.  
Que me ha enseñado a  
disfrutar la vida desde  
otro punto de vista.

**A Caro.**

**Por toda su ayuda, amor y comprensión.  
(Ya veremos tú que pones en tu dedicatoria  
... yo tampoco he perdido mi chispa).**

A mi abuelita Anita.  
Que me ha ayudado a ser un  
mejor hombre a través de  
sus oraciones.

A todos mis abuelos,  
que no están conmigo físicamente,  
pero que sus consejos  
no abandonan mi mente.

Al resto de mi familia,  
que no enumero,  
más que nada  
por el sólo hecho,  
de que tendría qué escribir  
otra tesis para justificar el espacio.

A mis padrinos Ceci y Salvador (Miki),  
con quienes siempre me ha gustado  
compartir las metas que voy alcanzando,  
y siempre han estado ahí cuando los he necesitado.

A todos mis queridos profesores.  
Que compartieron sus conocimientos con gran calidez.

A todas las personas amigas.  
Que de algún modo me ayudaron a llegar aquí.

A los doctores  
M. Javier Cruz Gómez  
Juan J. de Pablo  
por ayudarme a cumplir mis metas  
y no olvidar que sólo con trabajo  
se puede alcanzar  
la excelencia.

A mis viejos y nuevos amigos.  
Espero nunca perder contacto con ustedes,  
o por lo menos,  
volver a encontrarlos un día.  
En orden de aparición en mi vida:  
Hiram, Roberto, Rocío, Lilian, Gabriel, Ulises, Jorge,  
Rubén, Norma, Ericka, Sandra, Julio, Braulio y todos  
aquellos niños con los que jugué encantado  
en el Colegio Vilaseca Esparza.

Tacho, Hugo, Miguel (Pats), Edgar, Miguel (Paz),  
Nahum, Igor y demás miembros anónimos de la BLDX.

Gabriela y resto de compañeros de la  
Preparatoria No. 1 "Gabino Barreda".

A Juan Manuel, Liz, Eva, Aldo (mi excelente equipo de proyectos).

Heidi, Fernando, Todd, Shyamal, Paul, Dave, Dan, Richie, Adam  
And the rest of this huge de Pablo's group.



AL H. JURADO PROFESIONAL

# ÍNDICE.

1. Introducción.	3
2. Antecedentes	8
2.1. Breve descripción de un algoritmo de Dinámica Molecular.	8
2.2. Modelo empleado y conceptos básicos de mecánica estadística.	15
2.3. Limitaciones de la Dinámica Molecular.	20
2.4. Técnicas de optimización actuales.	21
3. Instrumentación.	28
3.1. Arbol binario.	29
3.2. Arreglos de subceldas	33
3.3. Diagrama de bloques	36
3.4. Descripción de las subrutinas	38
4. Resultados	52
4.1. Validación de la función de distribución radial para esferas duras discretas.	53
4.2. Validación de la función de distribución radial para cadenas de esferas duras	59
4.3. Validación del factor de compresibilidad para cadenas de	

esferas duras.	65
4.4. Comparación en el desempeño del código desarrollado con trabajos similares.	70
5. Conclusiones	75
6. Bibliografía	77
Anexo I. "Código desarrollado"	79

## ÍNDICE DE FIGURAS, TABLA Y DIAGRAMAS

Figura 1.	“Configuración inicial”	10
Figura 2.	“Empleo de condiciones periódicas de frontera”	12
Figura 3.	“Condiciones de imagen mínima”	13
Tabla 1.	“Eventos programados”	26
Diagrama 1.	“Árbol binario típico”	30
Diagrama 2.	“Estructura nodal”	32
Diagrama 3.	“Subceldas”	34
Diagrama 4.	“Diagrama de flujo del programa principal”	36

## ÍNDICE DE GRÁFICOS

Gráfico 1.	“Fracción de empaquetamiento: 0.19”	54
Gráfico 2.	“Fracción de empaquetamiento: 0.24”	55
Gráfico 3.	“Fracción de empaquetamiento: 0.29”	56
Gráfico 4.	“Fracción de empaquetamiento: 0.33”	57
Gráfico 5.	“Función de distribución radial para cadenas de esferas duras.”	62
Gráfico 6.	“Función de distribución radial para cadenas (resultados publicados)”	64
Gráfico 7.	“Factor de compresibilidad para cadenas duras (tetrámeros)”	66
Gráfico 8.	“Factor de compresibilidad para cadenas duras (octámeros)”	67
Gráfico 9.	“Factor de compresibilidad para cadenas duras (16-meros)”	68
Gráfico 10.	“Factor de compresibilidad para cadenas duras (32-meros)”	69
Gráfico 11.	“Comparación en el desempeño de distintos códigos de Dinámica Molecular”	72

# 1. INTRODUCCIÓN

La dinámica molecular ha sido empleada desde hace varios años, para simular, a nivel atómico, el comportamiento de diversos materiales, estudiar sus características y formular nuevas ecuaciones de estado.

Ha sido hasta el advenimiento de computadoras más veloces, que ha sido posible tener acceso a los tiempos de simulación que se requieren para determinar propiedades y estudios de configuraciones de los sistemas de interés. Aún así, es necesario mantener programas en proceso por periodos de horas, incluso días, para simular fenómenos que en la naturaleza tienen duraciones del orden de fracciones de segundo.

Existen varios grupos actualmente trabajando en este ramo de la ciencia, tratando de hacer los algoritmos más eficientes, y no necesitar equipos de supercómputo para la obtención de los resultados deseados.

Esta tesis, codificará y validará algoritmos de aceleración, tales como:

- Árboles binarios para la organización de eventos. Este algoritmo fue propuesto por Rapaport D.C.[1] y permite un acceso más rápido a los eventos previamente calculados (un evento se define como las

colisiones entre partículas o bien el cambio de subcelda en donde se localiza la partícula). Este acceso más expedito se debe a la estructura del árbol binario y las leyes de organización que lo rigen, permitiendo un número mínimo de búsquedas para cualquier elemento (nodo) deseado y algoritmos sencillos de identificación de los elementos máximo y mínimo.

- División de la celda primaria de simulación en subceldas para determinar un vecindario de partículas. Este algoritmo descrito por Allen [2] permite reducir el número de parejas de partículas que “pueden” sufrir una colisión, tomando en cuenta que sólo las partículas más cercanas pueden interactuar entre sí.
- El uso extensivo de apuntadores. Debido a la naturaleza del problema, es posible asignar a cada partícula un número consecutivo el cual puede ser usado para evitar al máximo búsquedas sobre los indicios de las variables. El ejemplo más claro de esto corresponde a las subrutinas de borrado de partículas. Cada vez que un par de partículas ha sufrido una colisión, todos los eventos programados en donde se presentan cualquiera de estas dos partículas deben de ser eliminados, dado que esos cálculos están basados en las trayectorias y velocidades anteriores a la colisión. Así pues, el uso de apuntadores evita hacer búsquedas sobre

el árbol para eliminar estos nodos, pues cada partícula tiene una lista en donde se incluyen todos los eventos programados para ella y de donde se puede extraer la dirección de cada uno de los nodos involucrados de forma más eficiente.

El objetivo de la elaboración de esta tesis es el tratar de dar a conocer e instrumentar los algoritmos de aceleración antes descritos y que se han dado de forma aislada e integrarlos para generar un código que permita la simulación rápida de sistemas moleculares de gran tamaño.

De tal forma se contará con un código de simulación que servirá como punto de partida a un código mejorado, para ser utilizado en un proyecto patrocinado por la industria química e informática, para diseñar un nuevo polímero que será empleado en la fabricación de circuitos integrados de alto desempeño.

La forma en que este programa ayudará al desarrollo del nuevo polímero, una vez que se instrumenten interacciones partícula-partícula y partícula-superficie, será en la visualización de posibles estructuras e interacciones que pueden suceder en las películas monomoleculares. Debido a que el objetivo final es un polímero que permita cubrir zonas específicas en una superficie, es necesario saber cuál es la resolución máxima que se puede obtener, variando la naturaleza de



la molécula (interacciones y tamaño). Debido a la dificultad que existe en la preparación de polímeros, se espera que la simulación molecular indique qué tipo de polímero se debe intentar sintetizar y cuáles polímeros deber ser descartados.

El modelo que se empleará en la elaboración de este trabajo es el propuesto por Rapaport, el cual consiste en cadenas de esferas duras unidas por un enlace, que no presenta ninguna resistencia conforme las partículas se alejan o se acercan entre sí, pero sufre una tensión elástica cuando la distancia entre dos esferas vecinas que se encuentran en la misma molécula alcanzan la distancia de enlace, evitando así, que las partículas se separen una distancia mayor a  $\delta$  (ver anexo II).

Los resultados obtenidos se validarán con información previamente publicada, tal como la función de distribución radial para esferas duras, y el coeficiente de compresibilidad.

Una vez que se haya confirmado que el programa devuelve resultados correctos, la siguiente fase será el comparar cuánto tiempo le lleva a este código el llegar a estos resultados, comparando éstos con códigos desarrollados por otros grupos de investigación y cuyos resultados han sido publicados.

El siguiente capítulo, describe de forma más profunda los trabajos publicados previos a la elaboración de esta tesis, de las ideas que servirán para

comprender algunos conceptos de mecánica estadística, así como de la importancia de la función de distribución radial  $-g(r)-$ , y la justificación por la que fue elegida como parámetro para determinar la validez del programa.

En el capítulo de Instrumentación, se mostrará básicamente la estructura del programa, así como una breve descripción de las subrutinas que lo conforman, haciendo hincapié en las ecuaciones de movimiento, tanto para el cálculo de tiempos de colisión, como de las ecuaciones para modificar las velocidades después de una colisión entre partículas.

En la parte correspondiente a Resultados, se incluirán las gráficas y tablas necesarias para comprender y comparar los resultados obtenidos de la simulación y verificar que el programa desarrollado es de calidad, al menos comparable a los programas que actualmente varios equipos de investigación tienen a su alcance.

En las Conclusiones, se incluirá además, un breve resumen de las mejoras que son necesarias para poder emplear este programa en la solución de problemas técnicos de frontera, como es el desarrollo de un nuevo polímero.

## 2. ANTECEDENTES.

### *2.1. Breve descripción de un algoritmo típico de Dinámica Molecular.*

La simulación molecular puede ser llevada a cabo de distintas maneras, con una amplia gama de tipos de cálculo, siendo los más utilizados, los llamados métodos de tipo Montecarlo y los basados en Dinámica Molecular.

Los métodos del tipo Montecarlo se basan en la probabilidad de éxito de insertar una partícula en una configuración dada.

Esto es, los movimientos de partículas no siguen las leyes de movimiento de Newton, sino que, en cualquier momento, una partícula “desaparece” del sistema y cambia de lugar “apareciendo” en un lugar al azar en el sistema. Es aquí en donde se evalúa un factor de probabilidad que depende de las condiciones y naturaleza del fluido, el cual permite determinar el rechazo o aceptación del movimiento de la partícula.

La ventaja que tiene la Dinámica Molecular sobre cálculos del tipo Montecarlo, es que los movimientos de las partículas se hacen de forma dinámica, esto es, se basa en la evolución del sistema por medio de la solución sucesiva de

las ecuaciones de movimiento de Newton que gobiernan a cada una de las partículas del sistema y no artificial, permitiendo así estudiar propiedades de transporte y no quedar limitada a sólo propiedades en equilibrio como en el caso de las simulaciones basadas en el método Montecarlo, el cual, si bien es cierto, obtiene resultados de forma más rápida, lo hace a costa de ser específico a este tipo de problemas en donde lo que importan son las propiedades macroscópicas basadas en el promedio de las configuraciones instantáneas del sistema en cuestión.

Actualmente, se está tratando de desarrollar un polímero para la fabricación de circuitos integrados de alto desempeño, y se desea simular el comportamiento de este polímero sobre superficies de silicio, para poder determinar la resolución que se puede lograr en el grabado del circuito. Es por ello, que es necesario recurrir a métodos de Dinámica Molecular para cumplir este objetivo.

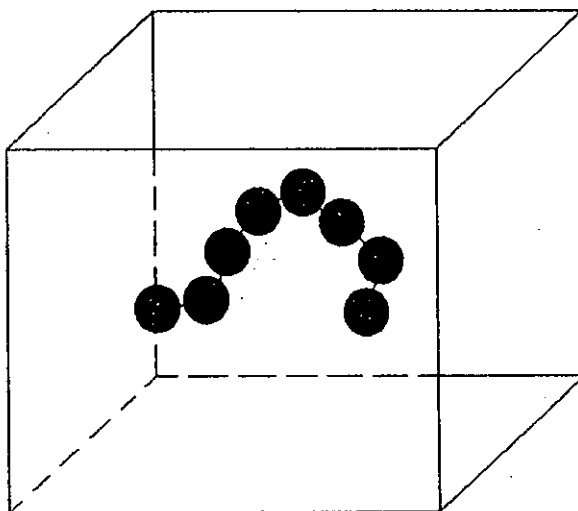
A lo largo de este trabajo, se compararán los resultados aquí logrados, con diversos valores obtenidos por medio de distintos métodos -incluyendo métodos tipo Montecarlo- pero no se hará ninguna comparación entre el tiempo de proceso requerido para llegar a esos resultados, a menos que el método corresponda a una Dinámica Molecular. Esto debe quedar claro, pues como ya se dijo previamente, los métodos Montecarlo obtienen resultados de forma más rápida, pero, dado que

la meta a largo plazo es calcular propiedades de transporte, estos métodos no pueden ser aplicados.

La Dinámica Molecular se basa en el cálculo de trayectorias de sistemas que varían desde cientos, hasta cientos de miles de átomos, y que evolucionan por medio de la solución repetida de las ecuaciones de movimiento de Newton.

La forma usual de llevar a cabo una simulación de Dinámica Molecular, es partir de una configuración inicial, como la que se muestra en la siguiente figura.

**Figura 1. "Configuración inicial"**



Ésta será la celda de simulación principal, en donde se fija temperatura y densidad del sistema.

La temperatura fija la energía cinética del sistema, así pues, se asignan velocidades a cada partícula de acuerdo a una distribución gaussiana, en donde la media corresponde a:

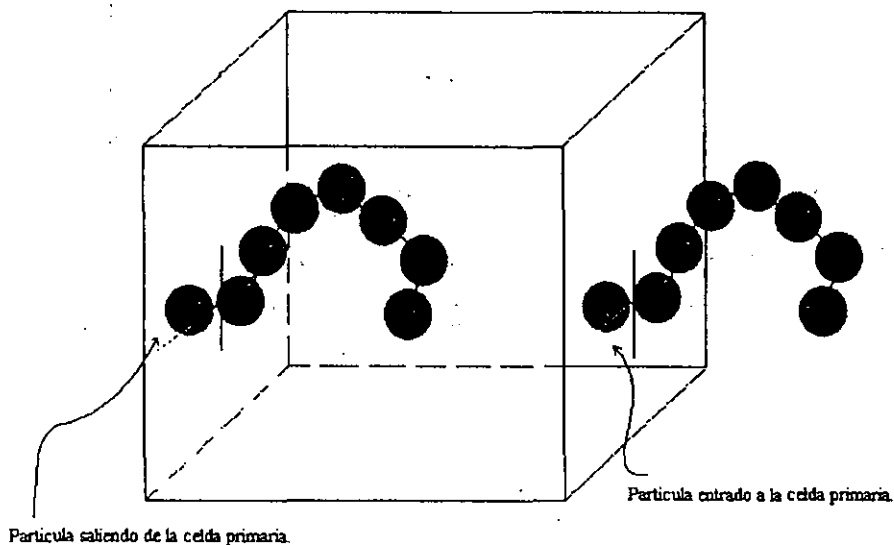
$$v = \sqrt{\frac{3kT}{m}}$$

Y donde las direcciones de la velocidad se fijan al azar y arbitrariamente. Cabe mencionar que, para el caso de esferas duras, la temperatura es por definición infinita, lo cual implica que, para este caso en particular, la distribución de velocidad en realidad no importa.

Pero debido a que no se desean imponer como límites a los bordes de nuestra celda de simulación, es necesario adoptar condiciones periódicas de frontera, esto es, cuando una partícula salga por un lado de la caja, otra entrará por el lado contrario a ella, manteniendo así fijo, el número de partículas presentes en la celda primaria, permitiendo de esta forma simulaciones a densidad constante.

El uso de condiciones periódicas de frontera, se representa en la siguiente figura.

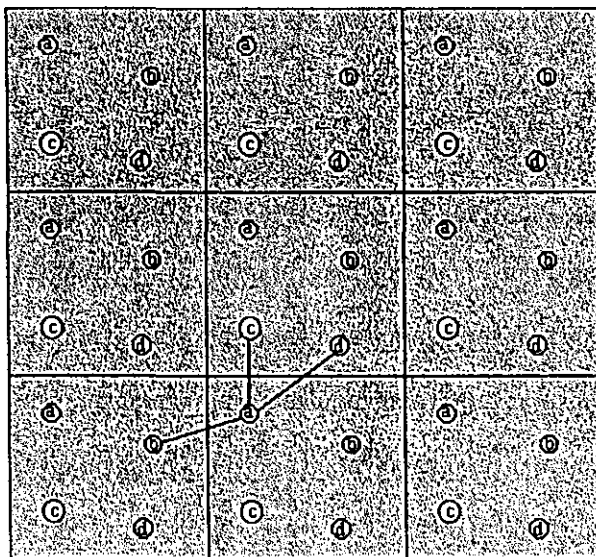
**Figura 2. "Empleo de condiciones periódicas de frontera"**



El primer intento de hacer más eficientes estos métodos y que por un tiempo fue un rasgo común en este tipo de simulaciones, es el empleo de la convención de la imagen mínima.

La convención de imagen mínima, establece que cada partícula puede interactuar con la imagen más cercana a ella. Eso quiere decir que, no importa que la partícula más cercana se encuentre localizada en una celda distinta, siempre y cuando la distancia entre ésta y la partícula de interés sea mínima. Esto quedará claro con la ayuda del siguiente gráfico.

**Figura 3. "Condiciones de imagen mínima"**



Esta figura corresponde a una proyección en dos dimensiones de la celda primaria, y del resto de celdas imágenes a ella.

Como se puede observar en la figura, existen pares de partículas que si se toma una sola celda estarían demasiado alejadas como para poder interactuar en un tiempo corto, pero las imágenes de éstas en las celdas vecinas, hacen que se deba de tomar en cuenta para el cálculo de un evento próximo a ocurrir.

Para poder obtener las propiedades macroscópicas que nos interesan, se obtiene el promedio de ciertas cantidades instantáneas, que se irán muestreando



durante el tiempo de simulación, siendo necesario conocer de antemano los tipos de interacciones que existirán entre las partículas; de hecho, el establecer el tipo de interacción que pueden sufrir las partículas nos permite hacer la siguiente clasificación para las simulaciones de Dinámica Molecular:

1.- **Dinámica Molecular continua**, en la cual la fuerza que actúa sobre las partículas es debido a un potencial continuo, por ejemplo del tipo Lennard-Jones.

2.- **Dinámica Molecular discontinua**, en la que, como su nombre lo indica, el potencial al que están sujetas las partículas es discontinuo, como el caso del modelo de esferas duras.

En el caso del empleo de potenciales continuos, las ecuaciones de movimiento se van resolviendo a intervalos regulares de tiempo, por medio de técnicas de diferencia finita [3]. Aunque es posible estudiar fenómenos por periodos prolongados usando equipos de supercómputo para emplear potenciales continuos, el hecho de que el paso entre evento y evento es fijo y muy pequeño, y que el costo de tiempo de proceso es elevado para este tipo de equipos, hace que sea más atractivo el empleo de los potenciales discontinuos.

Una simulación de Dinámica Molecular discontinua, evoluciona en una base evento-a-evento, esto es, una vez que se ha calculado el tiempo al que

sucedarán todos los siguientes eventos, se toma el más próximo, se avanza el sistema a ese punto en el tiempo, se calculan nuevos eventos (como colisiones o cambios de celda, como se explicará más adelante) y se repite el proceso.

## ***2.2. Modelo empleado y conceptos básicos de mecánica estadística.***

Esta tesis se ha basado en el modelo de Rapaport [1], para simular cadenas de esferas duras. Es el modelo más simple que se puede encontrar para el caso de cadenas poliméricas. En este modelo, se permite que la distancia entre partículas unidas varíe libremente en un intervalo entre  $\sigma$  y  $\sigma + \delta$ , donde  $\delta$  es mucho menor que  $\sigma$  (típicamente en el rango de 0.02 a 0.1).

La cadena se compone de  $n$  esferas de diámetro  $\sigma$  unidas unas a otras como un “collar de perlas” y con los enlaces que se pueden deslizar por la superficie. Así pues, las esferas adyacentes pueden tener dos tipos de colisiones intramoleculares; una es la colisión entre la superficie de las esferas, y la otra es la atracción súbita que sufren ambas partículas una vez que la distancia entre ellas es igual a  $(\sigma+\delta)$ .

Al momento en que el enlace está completamente tenso, debido a que las partículas se están alejando, se le llamará también colisión, debido a que el cálculo para este evento, es prácticamente idéntico a una colisión elástica entre esferas, y

además es ampliamente usado en las publicaciones utilizadas como referencia para el desarrollo de esta tesis.

Es oportuno en este momento, hablar de la importancia de la mecánica estadística, esto con el fin de establecer en la mente del lector el porqué se eligió algo tan poco “usual” como pudiera ser la función de distribución radial, como un parámetro para determinar la validez del programa de cómputo desarrollado.

Citando a Donald McQuarrie [4] “La mecánica estadística es la rama de la física que estudia desde un punto de vista microscópico a los sistemas macroscópicos. La meta de la mecánica estadística es el entendimiento y la predicción de fenómenos macroscópicos y el cálculo de propiedades macroscópicas a partir de las propiedades de moléculas individuales que forman el sistema”.

Actualmente, la mecánica estadística se emplea en muy diversos ramos de la ciencia, resolviendo problemas sobre gases, líquidos, soluciones, polímeros, adsorción, metales, espectroscopia, teoría de transporte, DNA, propiedades eléctricas de la materia, entre otros. Y es en la mecánica estadística donde información como  $g(r)$ , es de suma importancia para el entendimiento sobre todo de líquidos, por dos razones:

1. Si se asume que la energía potencial total de un sistema de N-cuerpos es aditiva con respecto al número de parejas presentes en el sistema, entonces TODAS las funciones termodinámicas del sistema pueden escribirse en términos de  $g(r)$ .
2. Es una cantidad que puede ser determinada por difracción de rayos X, y sirve para determinar el orden de corto alcance en un fluido.

El sentido físico de la función  $g(r)$ , corresponde a la probabilidad de encontrar a cierta distancia (tomando cualquier partícula como punto de referencia), una partícula vecina a la distancia  $(r)$  elegida. El sólo observar esta función y conociendo su significado, da una idea de la estructura del material, de acuerdo al arreglo que tienen las partículas en el bulto, así como de la densidad del mismo.

Quiero agradecer al profesor Arun Yethiraj del Departamento de Química de la Universidad de Wisconsin-Madison, por permitirme usar su código para determinar  $g(r)$ , a diversas fracciones de empaquetamiento, así como al Dr. Fernando Escobedo, del Departamento de Ingeniería Química, de la mencionada universidad, por permitirme usar su código para el cálculo de  $g(r)$  a partir de archivos de configuraciones.

El código del profesor Yethiraj está basado en la ecuación de Percus-Yevic, la cual fue elegida debido a que devuelve los resultados de forma rápida y, a pesar de que no se trata de una teoría exacta, se ha encontrado que los resultados que predice son muy similares a los resultados encontrados de forma exacta por Barker y Henderson quienes emplearon métodos del tipo Montecarlo [4].

La forma de calcular la función de distribución radial sigue el siguiente algoritmo. Se fija una distancia desde una partícula central hacia el resto del fluido. Esta distancia define el radio de una esfera alrededor de esa partícula en especial. Posteriormente se hace un conteo del número de partículas cuyo centro de masa cae dentro de esta esfera y se determina la densidad local que corresponde a la distancia  $r$  elegida. Esta operación se repite para todas las partículas en la celda de simulación, obteniéndose así un promedio a la distancia definida inicialmente, y se repetirá esta operación incrementando desde cero hasta la mitad de la celda de simulación el valor del radio de la esfera. La razón por la que sólo se puede medir  $g(r)$  hasta una distancia menor o igual al lado de la celda de simulación (en el caso de una celda cúbica), corresponde al empleo de las condiciones periódicas de frontera.

En el caso de cadenas, una vez que se ha elegido una partícula en especial, las partículas vecinas a ésta que se localizan en la misma cadena son descartadas. De esta forma se evita un "pico" de grandes dimensiones a la distancia  $l\sigma$  que sólo

indica que las cadenas se encuentran interconectadas. El resto del algoritmo es el mismo que el descrito anteriormente.

El otro valor que servirá como punto de comparación será el factor de compresibilidad, al cual estamos más familiarizados. Para poder calcular este factor, se instrumentó en el programa la siguiente fórmula, la cual se escribirá en su forma vectorial.

$$Z = n + \frac{\sum (\mathbf{r}_{ij} \cdot \Delta \mathbf{v}_i)}{t_s N_c v_s^2}$$

donde:

$Z$  : Factor de compresibilidad

$n$  : Número de monómeros en la cadena

$\Delta \mathbf{v}_i$  : Cambio de velocidad de una partícula debido a la colisión

$\mathbf{r}_{ij} = \mathbf{r}_i - \mathbf{r}_j$  : Diferencia en el vector posición

$t_s$  : Tiempo total de simulación

$N_c$  : Número de cadenas poliméricas

$v_s$  : Suma de las normas de las velocidades de cada partícula.

### **2.3. Limitaciones de la Dinámica Molecular.**

Se usan métodos como la simulación molecular para la solución de problemas debido a que existen aún muchos aspectos que han sido observados experimentalmente en el bulto de polímeros, y que no pueden ser medidos directamente de forma experimental.

Lamentablemente, no ha sido sino hasta la fecha que, gracias a equipos de cómputo más veloces y de menor costo, se ha permitido alcanzar los tiempos de simulación requeridos para poder extraer del programa alguna información útil.

Por ejemplo, para cadenas "largas" -mayor a 50 monómeros- y con el uso de potenciales del tipo Lennard-Jones, se ha estudiado el sistema de cadenas de metileno en el cual el uso de este tipo de potencial restringe las simulaciones a unos cuantos picosegundos de tiempo real y por tanto no se pueden encontrar propiedades como la viscosidad [5] debido a que, para calcular esta propiedad, es necesario tener información de la transferencia de momento a través de planos imaginarios en la celda de simulación y  $10^{-12}$  segundos es un tiempo insuficiente para determinar de forma precisa la viscosidad, pues se llega al orden de las fluctuaciones intrínsecas del sistema.

Para tener una idea más clara, de acuerdo a Alder y Wainwright [6], se requieren temperaturas bajas (menor energía cinética de las partículas), del orden de cientos de miles de colisiones, para simular tiempos reales del orden de milimicrosegundos (nanosegundos), a densidades bajas y simulando partículas discretas. Esto corresponde al mejor de los casos, de tal forma que podemos decir que con las computadoras actuales es posible simular en tiempos razonables de cómputo desde  $10^{-12}$  (picosegundos para sistemas densos polimoleculares) hasta  $10^{-9}$  (nanosegundos para sistemas poco densos y de partículas discretas).

Es por ello que, ha existido una gran variedad de intentos por optimar los métodos de simulación molecular, y el objetivo de esta tesis es el tratar de dar a conocer e instrumentar todos estos intentos que se habían dado de forma aislada e integrarlos para generar un código que permita la simulación rápida de sistemas moleculares por medio de la Dinámica Molecular.

#### ***2.4. Técnicas de optimización actuales.***

El trabajo más completo en la actualidad es la reciente publicación de Steven W. Smith y Carol K. Hall [3], en donde plantean la inquietud de desarrollar programas más eficientes en los que se pueda hacer uso de estaciones de trabajo convencionales y evitar así el uso de supercomputadoras para este tipo de aplicaciones.



Algunos de los métodos de optimización implementados por Smith y Hall, son los siguientes.

a) *Listas de Tiempo.*

La necesidad de emplear este tipo de listas, es debido a que permite evolucionar el sistema, por periodos más largos, sin que se tenga que llamar a una subrutina para actualizar a todas las partículas en cada evento.

Así pues, cada partícula tendrá un tiempo local asociado, que corresponde a la última vez que su posición fue actualizada. De esta forma, cada vez que se hace el cálculo de un evento, en lugar de actualizar todas las partículas del sistema, simplemente se realiza una actualización temporal entre las partículas involucradas en la colisión. Además, el avance sólo lo realizará una de las partículas (la que no ha sido actualizada en mayor tiempo).

b) *Listas de partículas vecinas.*

Para poder determinar los eventos que habrán de realizarse, es necesario hacer el cálculo entre todas las parejas de partículas del sistema.

Dado que ya mencionamos que los sistemas pueden ir desde cientos hasta cientos de miles de partículas, es necesario, reducir al máximo, el número de partículas para hacer este cálculo.

Para sistemas en donde no existe un gran número de partículas (menor a varios cientos de partículas), la forma de integrar estas listas de "vecinos", es el establecer un radio mayor al diámetro de la partícula, y hacer una búsqueda individual, para establecer cuáles partículas se encuentran en el interior del vecindario fijado de esta forma.

c) *Listas de subceldas.*

Cuando el número de partículas excede a varios cientos de ellas, el uso de listas de vecinos, resulta inadecuado, debido al gran esfuerzo computacional que se debe de hacer para mantener esas listas actualizadas, pues se debe recordar que la lista de partículas vecinas irá cambiando conforme avanza el tiempo, y para determinar cuáles partículas serán incluidas en la lista es necesario determinar la distancia entre cada par del sistema.

La forma de evitar este problema es dividiendo la celda principal en subceldas. Estas subceldas, tendrán una longitud de arista mayor al diámetro de

las partículas, pero nunca mayor a dos diámetros atómicos, si es que se desea tener un óptimo desempeño en el uso de este algoritmo.

El uso de subceldas restringe el dominio de búsqueda a las 26 subceldas contiguas. Aun así, se debe de recordar que cada celda puede tener asociada a más de una partícula. Esto es debido a que, si el centro de masa de la partícula tiene coordenadas tales que están contenidas en el interior de la subcelda, es posible acomodar hasta dos partículas en una celda, si el tamaño de la arista de la subcelda fuera un diámetro atómico ( $\sigma$ ).

Este procedimiento no requiere de búsquedas individuales de los pares más cercanos (pues incluye un evento más, el cual corresponde al cruce de partículas en las celdas). De esta forma, cada partícula tiene asociada una celda y los procedimientos se encargan de mantener listas actualizadas a cada momento de las partículas presentes en cada subcelda, y sólo se requiere una búsqueda no muy larga sobre la celda para determinar a los posibles candidatos para sufrir una colisión.

Otra ventaja es que en este caso, las subceldas vecinas, permanecen constantes, de tal forma que sólo se crea la estructura de celdas vecinas al inicio de la simulación.

d) *Programación de los eventos.*

La búsqueda del evento más próximo, requiere un gran gasto de tiempo de proceso para sistemas muy grandes, si es que se usan listas normales para programar estos eventos. Es aquí donde el empleo de un árbol binario logra reducir este gasto computacional. De acuerdo a Rapaport [1], se alcanza un código al menos 30% más rápido en comparación con códigos similares que emplean listas para su programación de eventos.

e) *Falso posicionamiento.*

Cada partícula tendrá asociada un tiempo local, que corresponde a la última vez que su posición fue actualizada.

Durante la simulación, existen varias formas de actualizar las coordenadas de las partículas.

- 1.- Debido a que se encuentran a una distancia  $\sigma$  y sucede una colisión entre esferas duras.
- 2.- Existió un cambio de subcelda.
- 3.- Se ejecutó un muestreo de las configuraciones del sistema.

Pero para poder hacer el cálculo de los eventos es necesario conocer la posición en la que se encuentra cada partícula en cada instante, así pues, cada vez que se desea calcular un evento, se avanza temporalmente a la partícula o partículas involucradas a un mismo tiempo, que lo determina la partícula que ha sido actualizada a un tiempo más cercano al real.

Una forma de pensar en lo anterior es el siguiente ejemplo:

Supongamos que estamos al inicio de la simulación de tal forma que el tiempo transcurrido es  $t=0$ .

Una vez que se calculan los eventos por primera vez, supongamos que tenemos un sistema de 2 partículas (a, b) con los siguientes eventos programados.

**Tabla 1. "Eventos programados"**

Tipo de evento	partícula a	partícula b
Colisión	$t=3$	$t=3$
cambio de celda	$t=1.5$	$t=4$
contracción de enlace	$t=10$	$t=10$

Como se puede observar, el primer evento que sucederá, será el cambio de celda por parte de la partícula a, así pues el tiempo real, será  $t=1.5$  una vez que suceda este evento. Pero no se han actualizado las coordenadas de la partícula b, por lo que, cuando suceda la colisión entre ambas partículas, programadas a ocurrir en el tiempo  $t=4$ , sólo se requerirá que la partícula b se avance temporalmente a un tiempo  $t=1.5$ , y así, ambas partículas se encontrarán en las posiciones que les corresponde a un tiempo dado.

### 3. INSTRUMENTACION.

La parte medular del programa es la integración exitosa de todos los algoritmos de optimización. El programa debe de ser pensado como un todo, y no una colección de subrutinas aisladas, para aprovechar al máximo las oportunidades de modificación de las variables que se dan en algunos procedimientos y que puedan servir después durante la ejecución del mismo.

El programa fue desarrollado en Fortran 77, debido a que por experiencia previa, en el grupo de investigación en donde se desarrolló esta tesis, es un lenguaje probado, y que la comunidad científica actual, entiende de forma general.

Cabe mencionar que las nuevas versiones de Fortran 77, permiten estructuras DO y la declaración explícita de las variables, esto hace al programa más amigable y una herramienta adecuada en aplicaciones en donde no se desea una interfase gráfica y la única preocupación es llevar a cabo operaciones matemáticas a gran velocidad y precisión.

A continuación se hace una breve descripción de las estructuras empleadas en este programa.

### 3.1. *Árbol Binario.*

Un árbol binario es una estructura de datos en donde se encuentran estos mismos, organizados por medio de un algoritmo sencillo.

Una descripción bastante adecuada y completa de un árbol binario, es la descrita por Cormen T.H. [7].

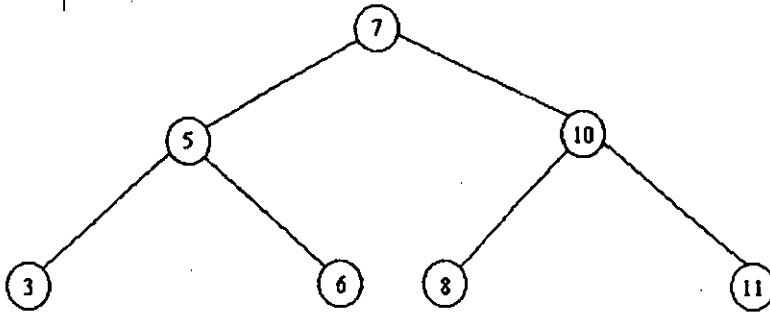
“Un árbol binario es una estructura definida por un número finito de conjuntos de nodos que, o bien:

- no contiene nodos o,
- está compuesto de tres conjuntos de nodos: Un nodo raíz, un árbol binario llamado subárbol derecho y un árbol binario llamado subárbol izquierdo.

El árbol binario que no contiene nodos es llamado árbol vacío o árbol nulo, que denotaremos como NIL. Si el árbol izquierdo es no vacío, su raíz es llamada el hijo izquierdo de la raíz de todo el árbol binario, de la misma forma que la raíz no nula del subárbol derecho es el hijo derecho de la raíz del árbol binario. Si un subárbol es el árbol nulo NIL, decimos que el hijo está ausente o perdido.”



**Diagrama 1. "Árbol binario típico"**



Como podemos ver de esta definición, un nodo es la unidad fundamental del árbol binario, y es en cada nodo en donde se ubican cada uno de los eventos que se calculan durante la Dinámica Molecular.

Todo nodo tiene por regla general un antecesor y varios sucesores. En el caso de la estructura del árbol binario, cada nodo tiene sólo dos sucesores, uno que contendrá información que ocurrirá después, y otro que ocurrirá a un tiempo más próximo.

El campo que contendrá el tiempo programado en que sucede cada evento, servirá en este caso para formar la estructura del árbol binario.

El arreglo de los números en el diagrama No. 1, no se realizó de forma aleatoria, sino fueron puestos en esa posición para cumplir con las condiciones de búsqueda de un árbol binario.

Para realizar una búsqueda sobre un árbol binario es necesario recordar que éste está formado, además del campo principal que contiene la información de interés, de tres campos más al menos que indican al hijo izquierdo, hijo derecho (sucesores) y al padre (antecesor). Si un hijo o un padre no existen para un nodo dado, el campo contendrá un valor de NIL. Sólo se permite a la raíz del árbol binario principal el tener su campo de padre con un valor de NIL.

El campo clave o principal, de un árbol binario será insertado en el árbol de tal forma que satisfaga la propiedad de búsqueda de los árboles binarios.

“Sea  $x$  un nodo en una búsqueda sobre un árbol binario. Si  $y$  es un nodo en el subárbol a la izquierda de  $x$ , entonces el campo clave de  $x$  será mayor al campo clave de  $y$ . Si  $y$  es un nodo en el subárbol a la derecha de  $x$ , entonces el campo clave de  $x$  será menor al campo clave de  $y$ .” [7]

La organización de datos de esta forma nos permite ejecutar fácilmente operaciones en el manejo de árboles, tales como encontrar el máximo elemento (será el nodo más a la derecha del árbol), el mínimo elemento (será el nodo más a

la izquierda del árbol, y el cual será una de las subrutinas más empleadas en este trabajo), así como operaciones para establecer la relación sucesor-antecesor entre nodos, que será necesaria para realizar operaciones de inserción, borrado y actualización.

Para finalizar, la información que debe de contener cada nodo está de acuerdo a la estructura propuesta por Rapaport [1], que se muestra en el diagrama 2.

**Diagrama 2. "Estructura nodal"**

Padre		
Hijo izquierdo	Tipo de evento	Hijo derecho
Lista circular de la partícula A (nodo previo)	Número de la partícula A (tipo A)	Lista circular de la partícula A (nodo posterior)
Lista circular de la partícula B (nodo previo)	Número de la partícula B (tipo B)	Lista circular de la partícula B (nodo posterior)

La partícula tipo A corresponde a la partícula a la que alrededor de ella se hace la búsqueda de partículas vecinas en el caso de una colisión. Siendo así B la partícula que corresponde a una partícula “vecina” de la partícula A.

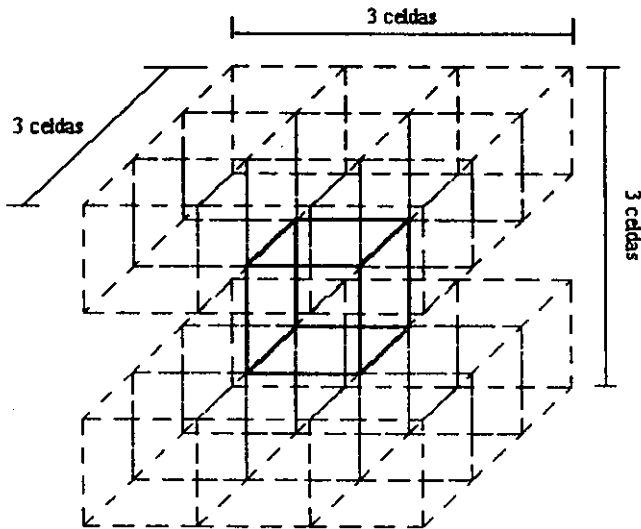
Debe quedar claro que todas las partículas pueden quedar incluidas en cualquiera de estas dos clasificaciones.

Actualmente, cada vez que sucede un evento, todos los nodos en donde se encuentran las partículas o partícula involucrada son borrados, esto se evitó en el presente trabajo, al borrar sólo los nodos de los eventos que ya no fueran físicamente posibles. La desventaja de este método es que es necesario hacer una búsqueda en cada nodo y verificar en qué campo se encuentra la partícula. Se espera que esta situación se compense con la rapidez ganada, al no tener que volver a calcular eventos que fueron generados anteriormente.

### ***3.2. Arreglos de subceldas.***

Imaginemos por el momento, un arreglo tridimensional de celdas.

**Diagrama 3. "Subceldas".**



Como se puede observar, cada subcelda tendrá 26 subceldas vecinas, de tal forma que podemos asignar a cada celda un número y elaborar una lista de subceldas vecinas una vez que se ha creado la estructura.

De esta forma, y con la instrumentación de un evento llamado cambio de celda, podemos saber en cualquier momento, cuál es la ubicación de cada una de las partículas.

Existen algoritmos que plantean la posibilidad de reducir el número de celdas vecinas de 26 a 13, pues de esta forma se eliminaría el “duplicar” la búsqueda de parejas.

En un principio esto se intentó, pero se encontró que, para temperaturas altas y densidades bajas, dado que las partículas se desplazan a una gran distancia antes de que se calcule una colisión, es posible tener una superposición de partículas.

Así pues, se adoptó hacer la búsqueda en las 26 celdas vecinas, pero para evitar el manejar el doble de eventos, se introdujo la siguiente condición.

Una vez que un evento ha sido calculado, dado que la inserción en el árbol implica una búsqueda, se aprovecha esta búsqueda para ver si existe ya insertado previamente este evento en el árbol.

Debido a que el manejo numérico en las computadoras no es exacto, y que cada vez que se modifica una posición, ésta varía ligeramente en su valor ( $\pm 10^{-11}$ ), es necesario establecer una tolerancia en la búsqueda de estas cantidades.

Afortunadamente, la diferencia entre eventos distintos es mucho mayor que la diferencia introducida por el error en el manejo numérico, de tal forma que no

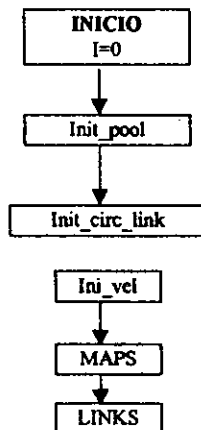
es necesario comparar el tipo de partículas involucradas, lo cual incrementaría el número de operaciones que se realizarían por ciclo de inserción.

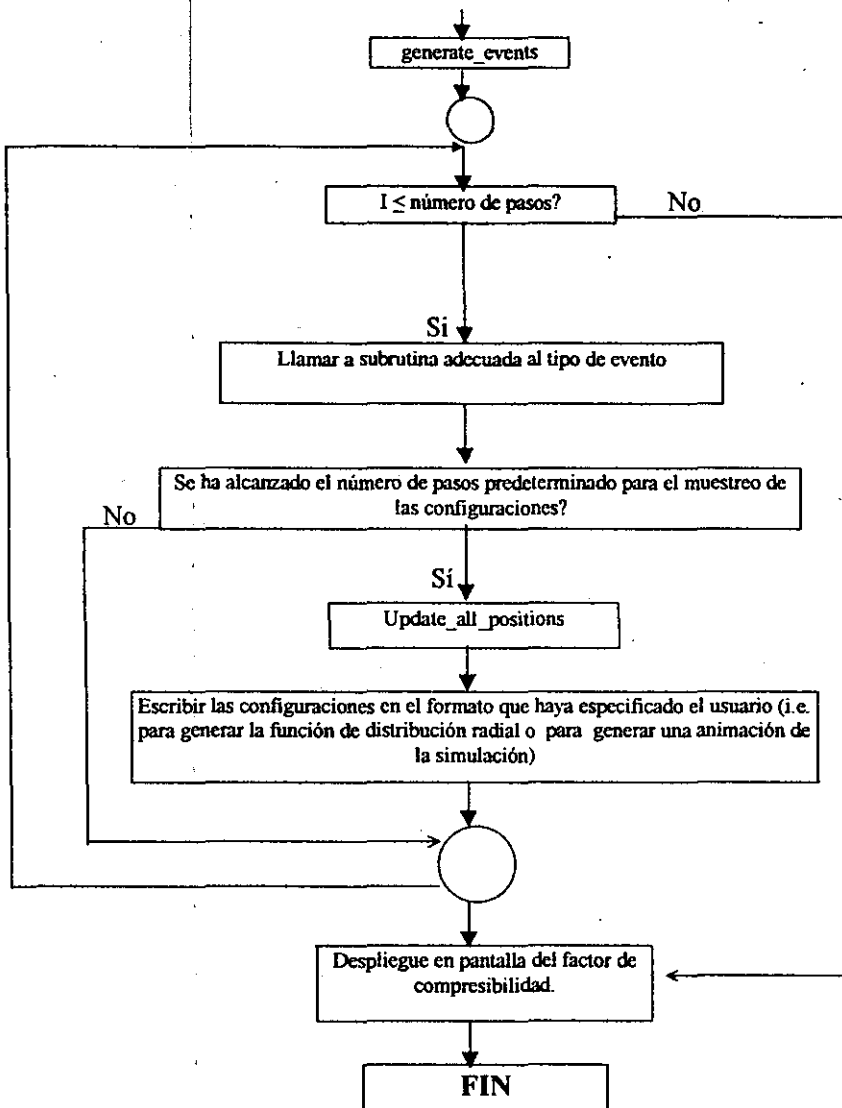
### 3.3. Diagrama de bloques.

Las subrutinas en las que se dividió el programa están organizadas de la siguiente forma.

Para lo que corresponde al programa principal, el diagrama de flujo resultó ser el siguiente:

**Diagrama 4. "Diagrama de flujo del programa principal"**







### 3.4. Descripción de las subrutinas.

Una vez que se han cubierto los rasgos generales de los métodos de optimización, a continuación se presenta una descripción de cada una de las subrutinas que se encuentran en el código, y si es el caso, cuáles fueron las modificaciones que se realizaron, para disminuir el número de operaciones por ciclo.

Para mayor claridad, no se entrará en la descripción detallada de todas las variables, a menos que se juzgue pertinente, y se hará la descripción de las rutinas de acuerdo a como van apareciendo en el código y no en el orden conforme se van ejecutando en el programa.

- *Principal.*

En esta parte del programa, se hace la asignación de los valores iniciales de la simulación:

Se inicializa el tiempo a cero (`abs_time`), así como otras variables que se requerirán para hacer el cálculo del factor de compresibilidad. (`rijDvi`, `num_coll`, `vs`).

Se hace la lectura de las siguientes variables:

- **temperature:** Temperatura.
- **num\_steps:** Número de pasos.
- **max\_chain:** Número de cadenas.
- **max\_site:** Número de monómeros en cada cadena.
- **ic\_conf\_file:** Nombre del archivo que contiene la configuración inicial.
- **bond\_length:** Longitud de enlace.
- **sampling\_rate:** Intervalo de muestreo de las configuraciones del sistema.
- **divisions:** Número de subceldas que contendrá cada celda primaria.
- **xmol\_var:** Decide si se desea generar la información necesaria para ver la simulación en un programa visualizador llamado xmol.
- **gr\_var :** Decide si la ejecución del programa desea generar la información de la función de distribución radial.
- **subcellsize:** Tamaño de la subcelda.

Se elabora una lista de vecinos enlazados, la cual no será modificada durante la ejecución del programa, de esta forma se cuenta con una forma rápida de saber si dos partículas son vecinas y en la misma cadena, la forma de acceder a esta variable es simplemente con el número de partícula, y se definen dos campos más, uno que establece el número de partícula anterior, y otro el número de

partícula posterior. Para los extremos, se establece que son vecinos de la partícula cero.

Se llama a las subrutinas *init\_pool*, *init\_circ\_link*, *ini\_vel*, *MAPS*, *LINKS* y *generate\_events*. Más tarde se hablará de cada una de ellas profundamente.

Se establece un ciclo donde se busca el evento más próximo a ocurrir por medio de la función *get\_min\_node*, se determina qué tipo de evento es y dependiendo de esto se llama a las subrutina *cell\_cross*, en caso de cambio de celda, o *collision* en caso de ser alguna colisión. Se debe recordar que estamos llamando colisión a toda aquella modificación en la velocidad que sufran dos partículas al interactuar.

Si se ha alcanzado un número de paso tal que se desea escribir la configuración que existe en ese momento, se llama a la subrutina *update\_all\_positions*, la cual avanza a todas las partículas del sistema al mismo tiempo global, y se hace la escritura del archivo.

- Subrutina *erase\_node(d)*

Esta subrutina se encarga de hacer el borrado del nodo *d*. Esta subrutina, se solicita una vez que se ha localizado un evento a ocurrir, es necesario eliminar del árbol

ese evento y todos los eventos que están asociados con las partículas involucradas.

Esto se debe de hacer por la siguiente razón:

Debido a la estructura del programa, cada evento es tratado de forma individual, por lo que es posible que una partícula tenga 2 ó más posibilidades de interactuar. Pero todos estos eventos que se calcularon y que tienen tiempos de sucesión mayores, ya no sucederán debido a que, después de la colisión que acaba de ocurrir, las velocidades de las partículas cambiaron, de tal forma que todos los eventos programados a suceder después de este evento, y en donde intervengan estas mismas partículas ya no serán válidos, pues fueron calculados a partir de velocidades "falsas".

Este procedimiento hace más eficientes los diferentes casos de borrado que son necesarios para mantener la estructura del árbol binario, y son ampliamente descritos en [1] y [3].

- Subrutina *erase\_root\_node(d)*

Dado que la forma de instrumentar el árbol binario fue un tanto distinta a la propuesta por Rapaport, fue necesario escribir una subrutina especial para el borrado del nodo raíz. Afortunadamente, no sólo no aumenta el número de

operaciones a desarrollar en cada ciclo, sino que, dependiendo de la estructura instantánea del árbol, puede reducir el número de operaciones que se realizan cada vez que se ejecuta esta rutina.

Básicamente, lo que hace este procedimiento es buscar el elemento máximo del subárbol izquierdo, y reemplazar con este nodo al nodo raíz. De esta forma se mantiene la estructura de búsqueda deseada.

- Subrutina *erase\_nodes (part)*

Esta subrutina llama las veces necesarias al procedimiento *erase\_node(d)*, para eliminar todos los eventos que tienen asociados a la partícula fijada por la variable *part*.

- Subrutina *init\_pool*

Es deseado que, una vez que se ha borrado un nodo, éste pueda ser utilizado de nuevo, evitando así el uso ineficiente de memoria, pero, debido a que de antemano no se sabe el número de eventos que se van a calcular, se crea una lista en donde se guardarán los números asociados a cada nodo. Esta lista se maneja de la forma UEPS (últimas entradas primeras salidas).

Así pues, esta subrutina se encarga de iniciar esta lista, para que cada vez que se requiera un nodo, se pueda llamar sin problema alguno. Como se dijo anteriormente, dado que no se sabe el número de eventos que sucederán a un mismo tiempo, es necesario tener un mensaje de alerta cuando se quiera acceder a un nodo, y ya no haya nodos disponibles en esta lista.

- Subrutina *send\_pool*

Cada vez que se hace el borrado de un nodo se envía a la lista en donde se encuentran los nodos disponibles. Este procedimiento, sólo actualiza el apuntador de la posición del siguiente nodo libre en la lista.

- Subrutina *get\_pool*

Cuando se ha generado un evento y se desea incluir dentro del árbol binario, el primer paso es tener acceso a un nodo disponible, y es precisamente lo que esta subrutina realiza, tomando el primer nodo disponible y actualizando el apuntador a la siguiente posición.

- Subrutina *insert\_node(d)*

Esta rutina se encarga de insertar en la posición adecuada al evento generado, guardado en el nodo *d*, de acuerdo a la regla de búsqueda del árbol binario.

- Subrutina *generate\_events*

Esta rutina se posiciona sobre todas las partículas, y busca qué partículas están a su alrededor, en el caso de que se encuentre a una partícula en el vecindario, se hace el cálculo del tiempo en que sucederá la colisión.

El cálculo de este tiempo de colisión se hace en una función llamada *colltime*. La razón por la que se decidió separar esta función de este programa, es debido a que *generate\_events*, sólo es ejecutado una sola vez durante la ejecución del programa, precisamente al principio de la simulación, posteriormente la función *colltime*, será llamada por otros procedimientos conforme la simulación progresa.

Esta subrutina, también crea por primera vez la estructura del árbol binario, ayudado principalmente del procedimiento *insert\_node*.

- Subrutina *init\_circ\_link*

Esta rutina sólo inicializa un campo de una variable, que corresponde al nodo siguiente de una lista de nodos relacionados por la misma partícula.

Esta lista que se menciona aquí, es la forma de incluir en cada nodo, la información de qué eventos están relacionados con la misma partícula, para que cuando se desee hacer el borrado de ella, exista una lista de “eventos a borrar”, y así se evite hacer una búsqueda por todo el árbol binario para determinar qué eventos se deben eliminar.

- Subrutina *update\_circ\_link(plink,node\_num,type)*

Esta subrutina se encarga de realizar la actualización de la lista de eventos con partículas en común.

La variable *plink* corresponde al número de partícula de interés, *node\_num* al nodo que va a ser removido de la lista y *type* si se trata de una partícula de tipo

A o B.



- Subrutina *ini\_vel(tempe)*

En esta subrutina se fijan las velocidades iniciales del sistema, de acuerdo a la temperatura del mismo. Se debe recordar que, para el caso de esferas duras, la temperatura no tiene ningún sentido físico, pero, dado que este programa es la base de un código mejorado, en donde la temperatura sí es de suma importancia, se decidió incluir esta subrutina.

- Subrutina *collision(sub\_node)*

En esta subrutina se hace la modificación de las velocidades de las partículas involucradas en una colisión, así como la actualización de las coordenadas y del tiempo local de cada una de ellas.

Las fórmulas que se emplean se derivan de las ecuaciones de movimiento de Newton, y se hace la aproximación de que las partículas tienen la misma masa.

A diferencia de la función *colltime()*, esta subrutina, no requiere determinar si las partículas se alejan o se acercan, pues debido al producto punto entre los vectores posición y velocidad, los signos se ajustan de forma automática.

Estas ecuaciones son escritas en su forma vectorial y se muestran a continuación:

$$\Delta v_i = -\Delta v_j = \frac{-(v_{ij} \cdot r_{ij})}{|r_{ij}|^2}$$

donde:

$\Delta v_i$  : Es el cambio en el vector velocidad de la partícula i

$\Delta v_j$  : Es el cambio en el vector velocidad de la partícula j

$v_{ij}$  : Es la diferencia entre los vectores velocidad  $v_i$  y  $v_j$

$r_{ij}$  : Es la diferencia entre los vectores posición  $r_i$  y  $r_j$

La forma en que esta ecuación fue implementada, puede ser vista en el código del programa que se incluye en el Anexo I de esta tesis.

- Subrutina *MAPS*

Esta rutina genera el vecindario de cada una de las subceldas, que contendrán a las partículas durante la simulación.

- Subrutina *LINKS*

Asigna a cada una de las partículas a la subcelda que le corresponde debido a su posición.

- Subrutina *cell\_crossing(p)*

Calcula el tiempo en que la partícula  $p$ , cambiará de subcelda. En este caso, para aumentar la rapidez de ejecución de programa, se escribió un subcódigo para cada tipo de cruce de celda, esto hace que se disminuya el número de operaciones necesarias para el cálculo del tiempo de cambio de celda.

- Subrutina *cell\_cross(node)*

Actualiza la posición de la partícula en la celda de simulación, hace el borrado del nodo que se acaba de ejecutar y modifica la lista de partículas de la subcelda a la que ahora pertenece la partícula en cuestión.

- Subrutina *re\_linking(partb, no)*

Mantiene actualizadas las uniones de los nodos con partículas en común, es llamado cada vez que sucede un evento, antes de que se realice el borrado de los

nodos involucrados.

- Subrutina *calculate\_single\_part(pa)*

Es el equivalente de *generate\_events*, pero específico a calcular los posibles eventos de la partícula definida por la variable *pa*.

- Subrutina *erase\_nodes\_cc(part,no)*

Dado que en un cambio de celda no se desean borrar todos los eventos previos calculados de la partícula, pues la velocidad de la partícula es la misma, sólo se hace el borrado específico de este evento. Esto es con el fin de no repetir un cálculo que ya se ha hecho previamente.

- Subrutina *update\_all\_positions()*

Avanza a todas las partículas del sistema, una delta de tiempo tal que los tiempos locales de todas las partículas coincidan con el tiempo global de simulación, para así poder obtener una configuración que puede ser empleada después para su visualización, o bien para el cálculo de  $g(r)$ .

- Función *gausran*( $v, m$ )

Da como resultado un número aleatorio dentro de una distribución gaussiana con varianza  $v$  y media  $m$ .

- Función *colltime*(*parta, partb*)

Regresa el tiempo de colisión entre dos partículas, este cálculo requiere determinar qué tipo de situación se está llevando a cabo. Primero, definiremos algunas cantidades para facilitar la notación en las fórmulas siguientes.

$r_{ij} = r_i - r_j$  (Diferencia en el vector posición)

$v_{ij} = v_i - v_j$  (Diferencia en el vector velocidad)

$b_{ij} = r_{ij} \cdot v_{ij}$  (Producto punto para determinar las componentes involucradas en la colisión)

$C_{ij} = r_{ij}^2 - \sigma^2$  (Indica la distancia entre dos partículas al momento de la colisión)

$C_{ij}^{\delta} = r_{ij}^2 - (\sigma + \delta)^2$  (Indica la distancia a la que sucede una atracción súbita debido al enlace entre dos partículas).

I. Partículas acercándose. ( $b_{ij} < 0$ )

si  $(b_{ij}^2 - v_{ij}^2 C_{ij} > 0)$  Sucede la colisión al tiempo:

$$t_{ij} = \frac{-b_{ij} - (b_{ij}^2 - v_{ij}^2 C_{ij}^s)^{1/2}}{v_{ij}^2}$$

## II. Partículas alejándose ( $b_{ij} > 0$ )

si ( $b_{ij}^2 - v_{ij}^2 C_{ij}^s > 0$ ) Sucede la colisión al tiempo:

$$t_{ij} = \frac{-b_{ij} + (b_{ij}^2 - v_{ij}^2 C_{ij}^s)^{1/2}}{v_{ij}^2}$$

siempre y cuando el tiempo  $t_{ij}$  calculado sea positivo.

- Función *ICELL(LX,IY,IZ,MC)*

Función usada para determinar de forma rápida las celdas vecinas a la celda localizada en la posición (LX, IY, IZ).

- Función *get\_min\_node()*

Función para determinar el evento más próximo.

- Función *get\_v2()*

Función que suma la norma de las velocidades de todas las partículas en el sistema, para hacer el cálculo del factor de compresibilidad.

## 4. RESULTADOS

En este capítulo, se mostrarán los resultados obtenidos con el programa desarrollado. Primero se incluye la verificación de que el programa funcione adecuadamente.

Como primer caso, se pensó en un sistema de partículas discretas, pues para el caso de esferas duras, existe mucha información y datos publicados, lo cual facilitó la validación del código.

Para poder calcular la función de distribución radial, es necesario hacer un muestreo de diferentes configuraciones del sistema a intervalos regulares. Así pues, se eligieron 4 fracciones de empaquetamiento.

La fracción de empaquetamiento queda definido como la fracción de volumen que las partículas en su totalidad ocupan dentro del volumen de la celda.

De forma general, la fracción de empaquetamiento ( $\eta$ ) tiene como fórmula:

$$\eta = \frac{N \cdot V_e}{V_c}$$

donde:

$\eta$  : Fracción de empaquetamiento.

$N$  : Número de partículas en el sistema.

$V_c$  : Volumen de cada partícula.

$V_c$  : Volumen de la celda de simulación.

En este caso las partículas tenían geometría esférica, y la celda es cúbica, por tanto, se puede definir  $\eta$  como:

$$\eta = \frac{4 \cdot \pi \cdot r_c^3 \cdot N}{3 \cdot L^3}$$

donde:

$\eta$  : Fracción de empaquetamiento.

$N$  : Número de partículas en el sistema.

$r_c$  : Radio de cada partícula.

$L$  : Longitud de una de las aristas de la celda de simulación.

#### **4.1. Validación de la función de distribución radial para esferas duras discretas.**



Gráfico 1.

“Fracción de empaquetamiento : 0.19”

FUNCIÓN DE DISTRIBUCIÓN RADIAL  
para esferas duras

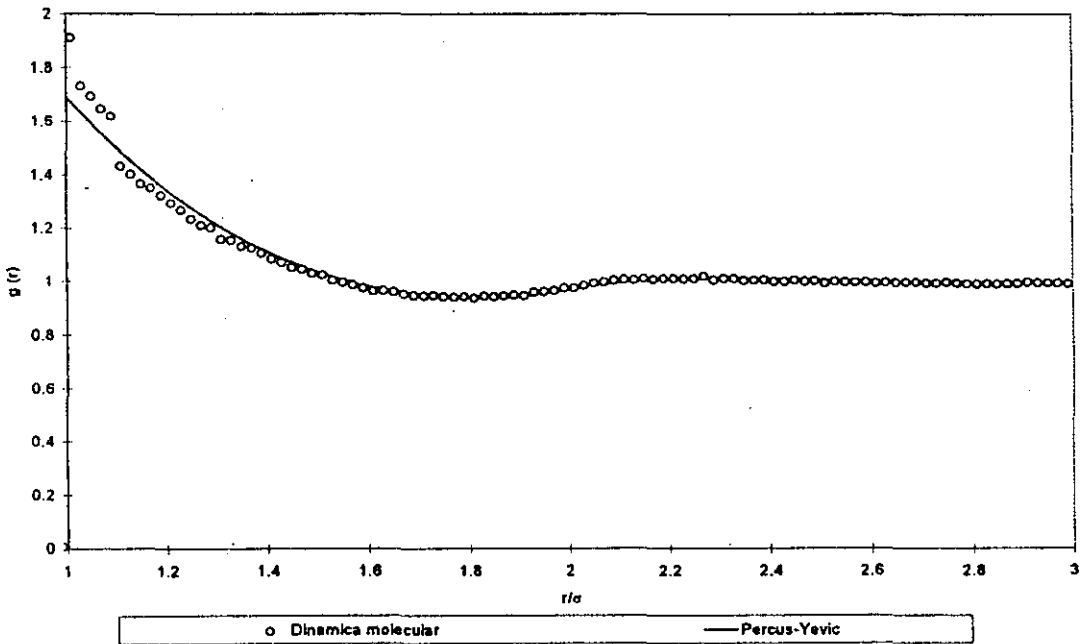
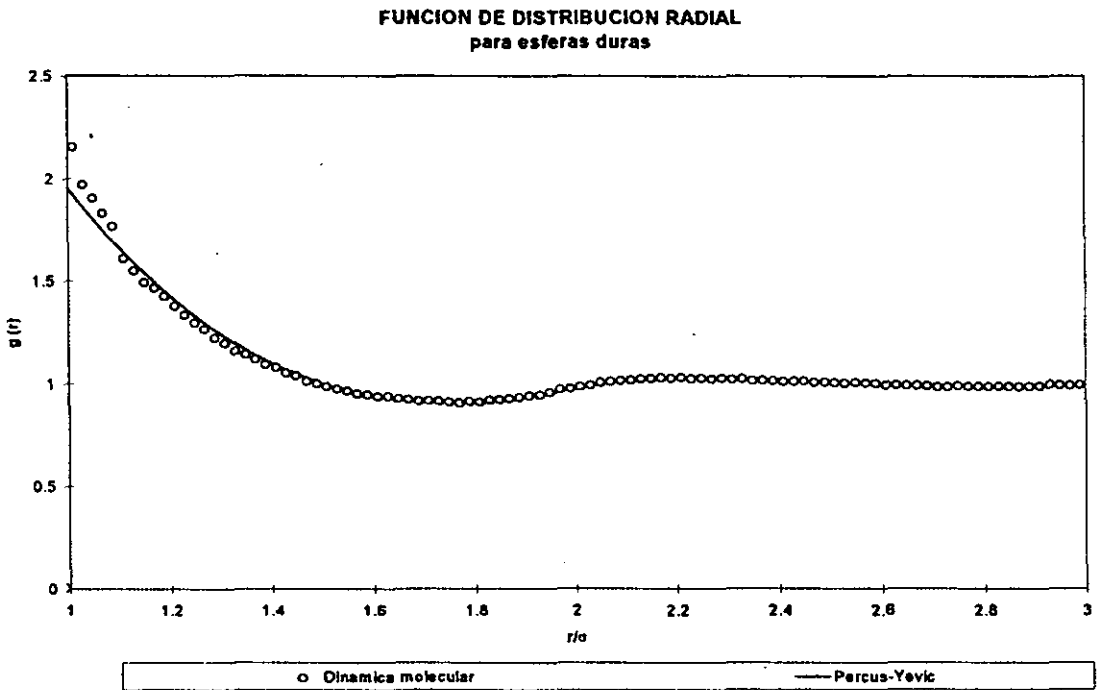


Gráfico 2.

“Fracción de empaquetamiento : 0.24”



### Gráfico 3

“Fracción de empaquetamiento : 0.29”

FUNCIÓN DE DISTRIBUCION RADIAL  
para esferas duras

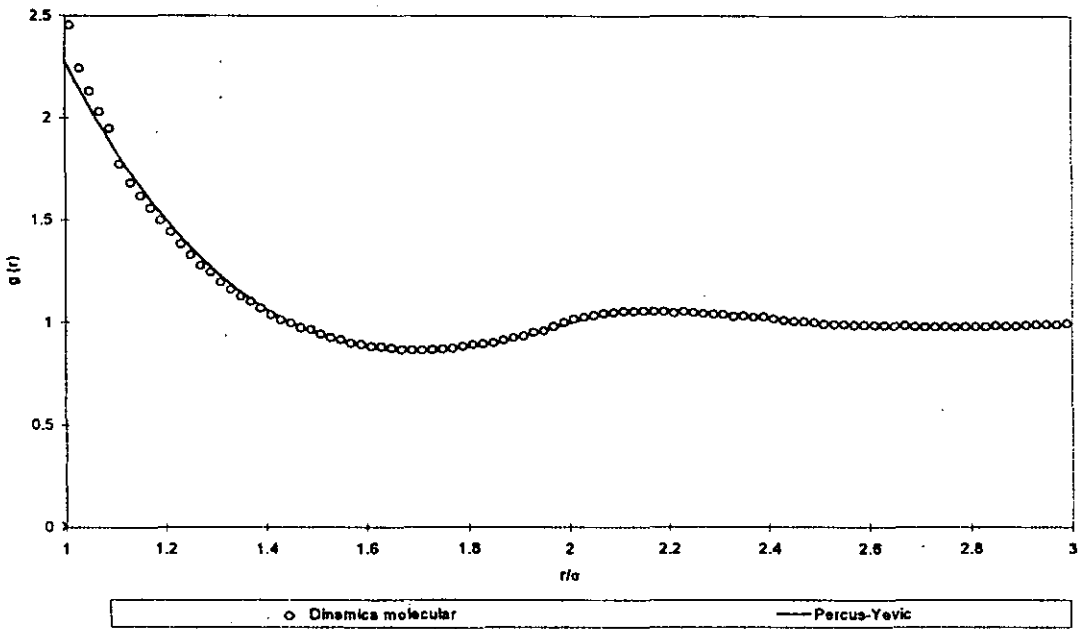
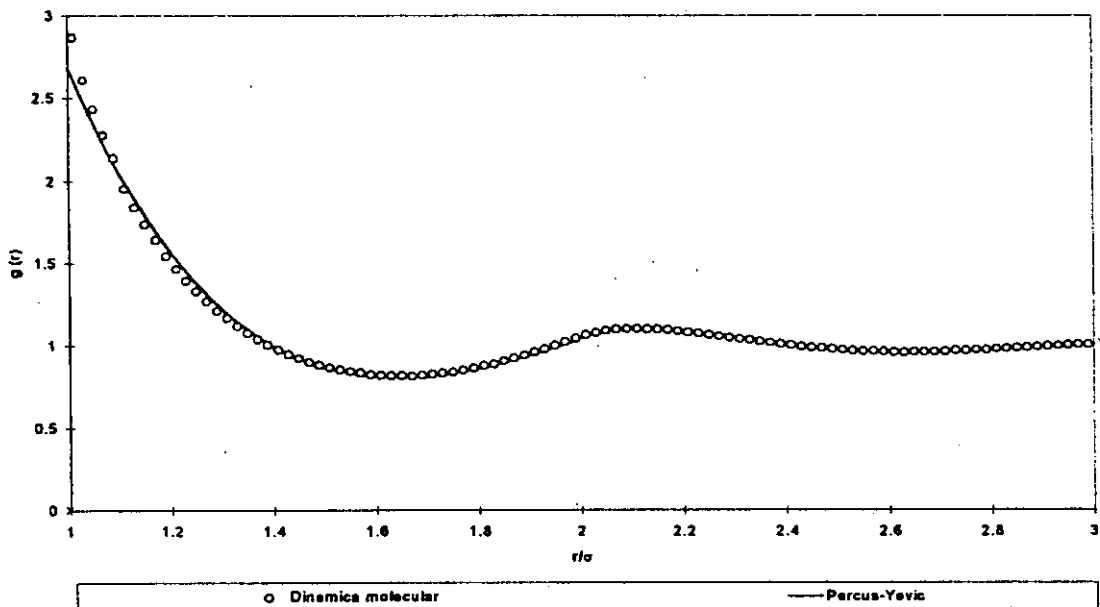


Gráfico 4.

“Fracción de empaquetamiento : 0.33”

FUNCION DE DISTRIBUCION RADIAL  
para esferas duras



Como se puede observar en el cálculo de  $g(r)$ , conforme se incrementa la fracción de empaquetamiento (que es directamente proporcional a la densidad del sistema), se puede observar una mayor estructura en el fluido. La estructura del fluido queda definida por la posición y el tamaño de los picos que se presentan a distancias mayores a un diámetro atómico  $\sigma$ .

Una vez que se comprobó que la función de distribución radial para esferas duras discretas correspondía a valores cercanos a los predichos por la teoría y simulaciones hechas por medio de otros métodos, se decidió hacer la validación para las cadenas de esferas duras.

Como se puede observar, la mayor desviación de los resultados calculados por medio de la simulación molecular y los obtenidos por medio de la ecuación de Percus-Yevic corresponde a distancias menores a 1.1 diámetros atómicos. Esta desviación es debido a la forma en que se extraen las configuraciones durante la ejecución del programa.

Debido a que este programa está basado en un algoritmo evento-evento, y no a un incremento de tiempo arbitrario, en promedio, las partículas estarán unas más cerca de otras, pues dado que un evento corresponde al cálculo de colisiones, éstas suceden cuando la distancia entre ellas es igual a un diámetro atómico.

Es por ello que se puede observar que este programa sobreestima la distribución radial de partículas, pero, a medida que la densidad aumenta, este error se ve disminuido debido a que en realidad las partículas se encuentran más juntas en promedio.

Afortunadamente, a distancias mayores, el efecto del muestreo se cancela prácticamente, lo cual se observa fácilmente por la correspondencia entre los resultados de Dinámica Molecular y la ecuación de Percus-Yevic.

#### **4.2. Validación de la función de distribución radial para cadenas de esferas duras.**

Como primer ejemplo, se incluye la función de distribución radial para un octámero de esferas duras a diversas fracciones de empaquetamiento ( $\eta = 0.3390, 0.2988, 0.2011, 0.0977$ ).

Estos resultados fueron comparados con los resultados publicados por Chiew Y.C [8]. Desafortunadamente, estos valores no pudieron ser comparados en el mismo gráfico por dos razones:

- La información de estos datos, fue publicada únicamente en forma de gráficos, de forma que no se quiso introducir un error de lectura.

- Por limitaciones del código desarrollado no es posible generar resultados para las fracciones exactas de empaquetamiento que se dan en la publicación. Esto es debido a que la fracción de empaquetamiento depende de un número discreto de partículas dentro de la celda de simulación, así pues, para poder llegar a una fracción de empaquetamiento tal como 0.1 por ejemplo, la longitud de la arista de la celda de simulación tendría que ser muy grande y por tanto un gran número de partículas. Aun así, se trató de acercarlo lo más posible a los resultados publicados.

A pesar de ello, los resultados de los datos previos se incluyen en una imagen extraída directamente del artículo. Para permitir al lector asegurarse de que, si bien las curvas no son semejantes completamente, sí se obtienen los rasgos generales. Como se puede observar por simple inspección, los datos no presentan una gran desviación entre sí.

En el caso de las simulaciones de este trabajo, se agregó una curva más a una fracción de empaquetamiento mayor a las publicadas, sólo con el fin de saber si el código puede soportar altas densidades sin sufrir rompimientos de cadena, como se observó en versiones Beta del código aquí desarrollado.

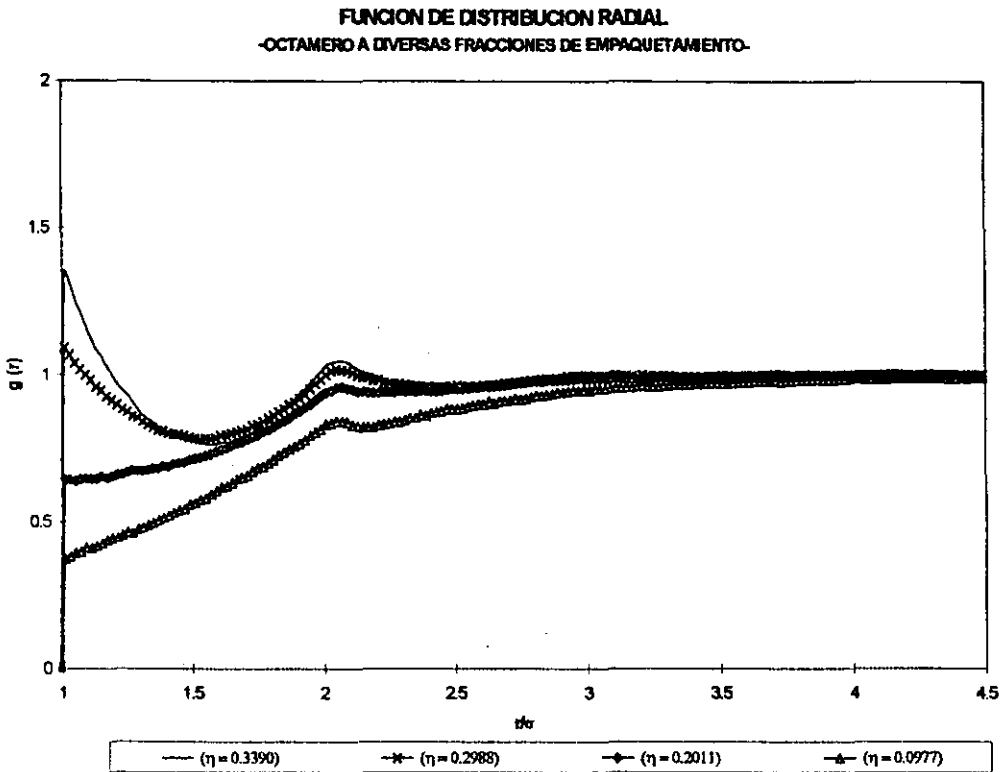
La forma de saber si existen rompimientos de cadena, es al observar  $g(r)$  y no encontrar a la distancia  $r/\sigma=2$  un pico tan pronunciado. Este pico se da principalmente, debido a que las esferas en una misma cadena están unidas por un enlace.

La razón por la que se hace hincapié en la inclusión de esta nueva curva, es debido a que no se debe confundir con la curva inferior que sí está cerca de los valores publicados, y no ocasione confusión entre dos curvas en donde las fracciones de empaquetamiento sí son bastante diferentes.



Gráfico 5.

“Función de distribución radial para cadenas”



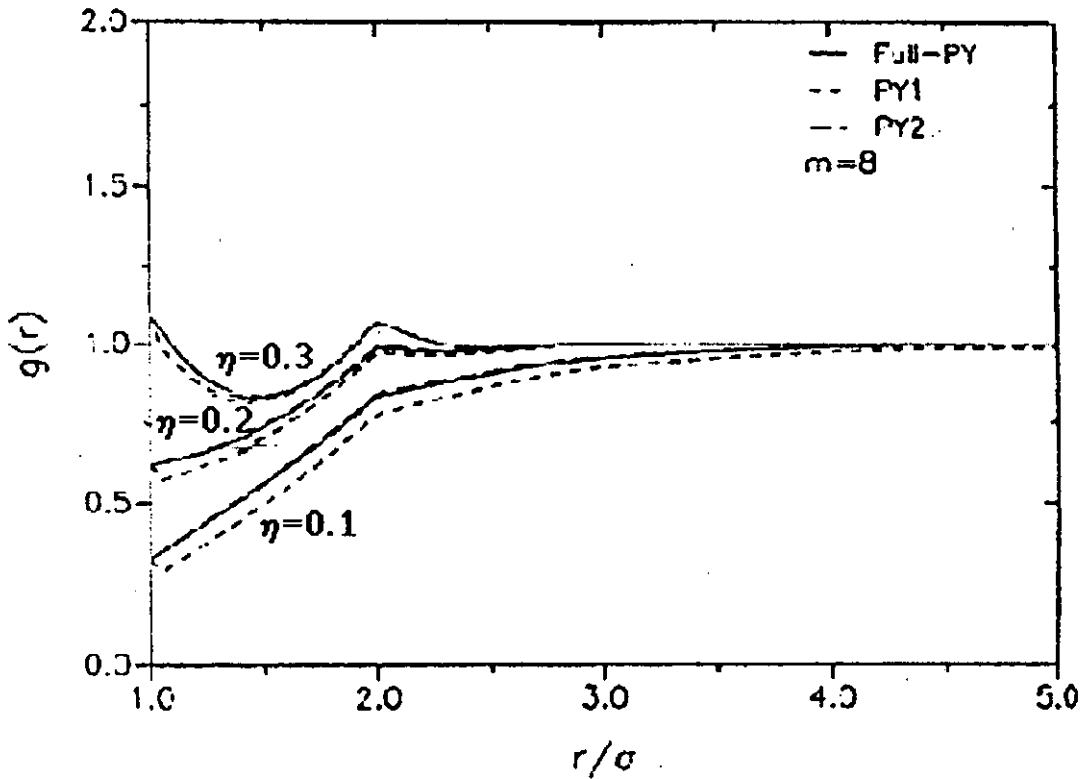
La razón por la que en el siguiente gráfico se muestran tres diferentes curvas es debido a que en ese artículo, se busca hacer aproximaciones a la ecuación de Percus-Yevic.

De esta forma, los resultados que se consideran "correctos", son los representados por medio de la línea continua, que está formada por la solución de la ecuación de Percus-Yevic sin ninguna aproximación adicional.

Gráfico 6.

“Función de distribución radial para cadenas (resultados publicados)”

Y. C. Chiew



Se debe recordar que el factor de compresibilidad es una desviación a la idealidad del sistema. En los gráficos mostrados anteriormente, podemos observar que, a medida que aumenta la densidad, el factor de compresibilidad se alejará de la unidad (valor que corresponde a gas ideal) y también sufrirá un incremento conforme aumenta la longitud de la cadena.

#### **4.3. Validación del factor de compresibilidad para cadenas de esferas duras.**

En la última etapa de validación del código, se desean comparar los resultados obtenidos para el factor de compresibilidad en cadenas duras reportado por Mark Denlinger y Carol K. Hall [9].

Se debe hacer mención que las curvas continuas que se muestran corresponden a una regresión estadística, que ajusta no sólo los valores obtenidos por estos autores, sino también de información para este sistema que ha sido generada por diversos trabajos previos.

Gráfico 7.

“Factor de compresibilidad para cadenas duras”

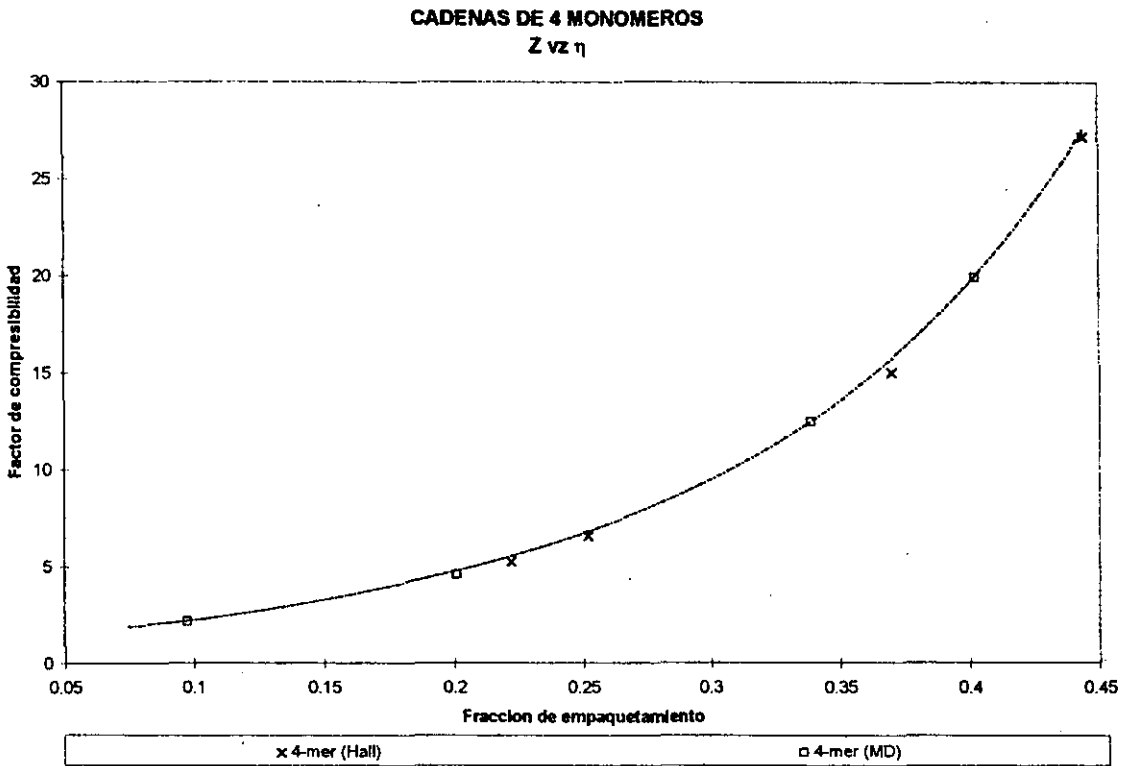


Gráfico 8.

“Factor de compresibilidad para cadenas duras”

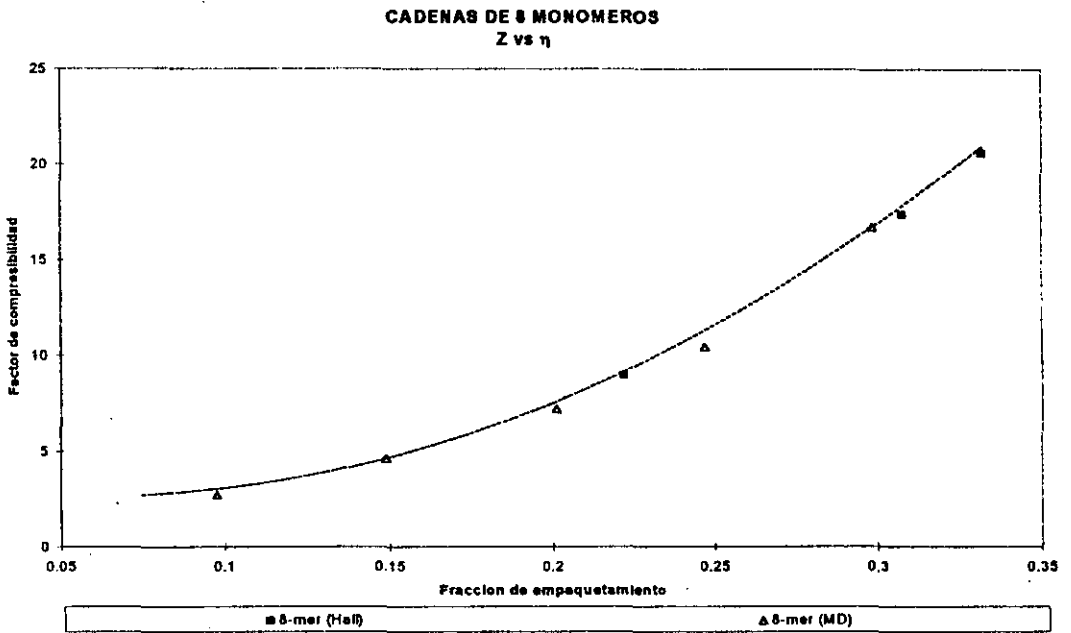


Gráfico 9.

“Factor de compresibilidad para cadenas duras”

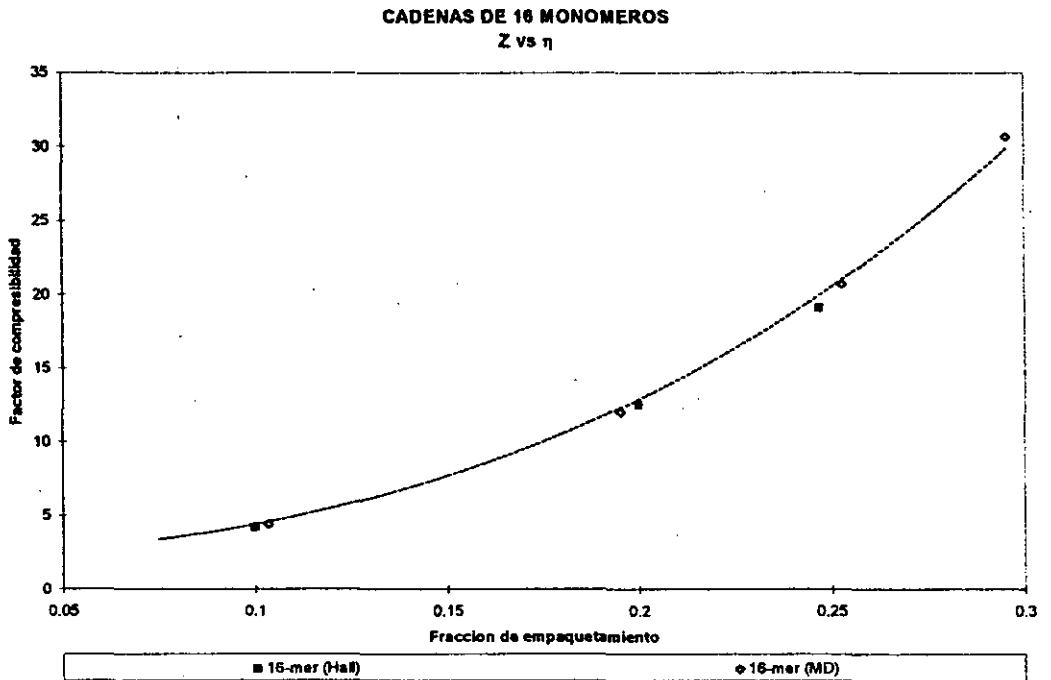
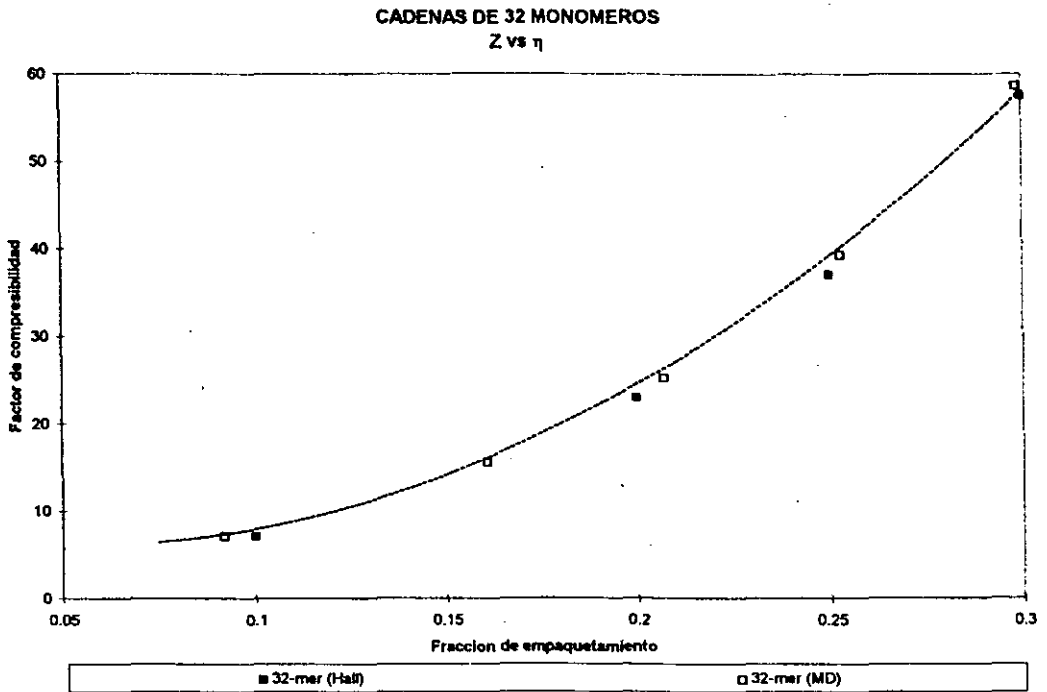


Gráfico 10.

“Factor de compresibilidad para cadenas duras”





La razón del por qué sólo se muestra la comparación entre los resultados obtenidos a partir del código desarrollado en esta tesis y los valores de Denlinger y Hall, es debido a que emplearon también un algoritmo de Dinámica Molecular para la obtención de ellos.

Como se puede observar, los resultados producidos por el código desarrollado, generan factores de compresibilidad que están acorde con resultados obtenidos previamente y calculados por similares y distintos métodos.

#### **4.4. Comparación en el desempeño del código desarrollado con trabajos similares.**

En lo que corresponde a la parte del desempeño del trabajo, en donde se muestran gráficos del número de colisiones y el tiempo de UCP (unidad central de proceso):

Todas las corridas del programa desarrollado en esta tesis se llevaron a cabo en un equipo DEC alpha 3000/166.

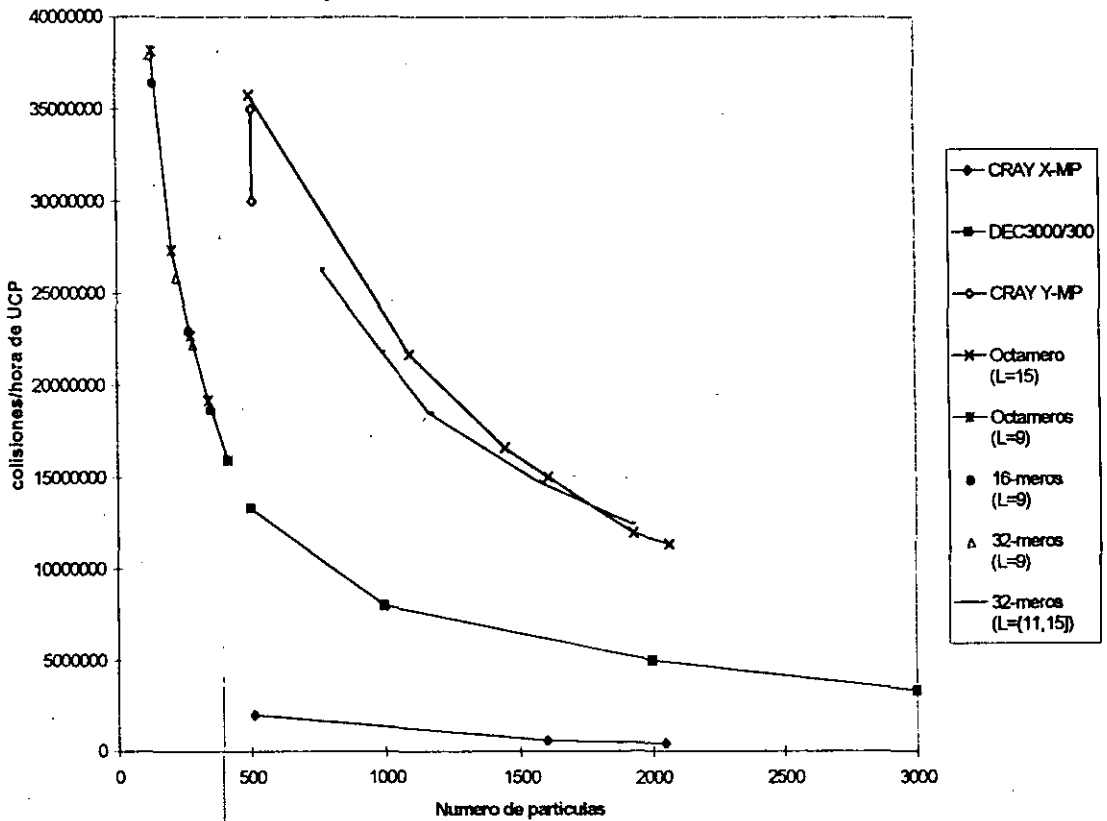
Es de hacer notar, que Hall, C.K. y colaboradores han sido las personas más activas en este ramo, de tal forma que en la gráfica de desempeño, se incluyen versiones de resultados anteriores en donde no se empleaban algoritmos de

optimización, así como los resultados de su última versión, en donde se instrumentaron los algoritmos antes descritos en esta tesis.

El incluir estos resultados nos permite tener una idea de la increíble mejora en la rapidez de cálculo, por el solo hecho de manejar árboles binarios, listas, falsos posicionamientos, etc.

Gráfico 11.

**“Comparación en el desempeño de distintos códigos  
de Dinámica Molecular”**



En el gráfico anterior se desearon introducir los siguientes aspectos que se encontraron al término de esta tesis.

La versión sin las rutinas de optimización que corrió en un equipo de supercómputo CRAY modelo X-MP, resulta del orden de 10 veces más lento comparado con el código que emplea rutinas de optimización y que fue corrido en un equipo de velocidad similar (CRAY Y-MP).

En el gráfico se incluye la longitud de la celda empleada para la simulación de los sistemas, de esta forma es posible tener una idea de las fracciones de empaquetamiento empleadas. Se puede ver en el gráfico que, a medida que la fracción de empaquetamiento aumenta, la velocidad de proceso disminuye dramáticamente; esto se debe a que, debido a la alta densidad del sistema, las rutinas de búsqueda de vecinos se hacen más lentas, pues se deben acceder listas más largas. Además, el número de colisiones que se gráfica, se refiere al número de colisiones efectivas.

Cada vez que se encuentran pares de partículas cercanas, se hace el cálculo de colisión entre ellas, de tal forma que, a mayor número de parejas posibles, mayor el número de colisiones calculadas; esto no sólo afecta el tiempo que se gasta en el cálculo directo del tiempo de colisión, sino que, al ser insertado este "posible evento", posteriormente se requerirá que las rutinas de borrado de nodos,

tengan duraciones más largas, debido a la mayor longitud de las listas asociadas a las partículas.

Como se puede observar, la longitud de cadena para misma fracción de empaquetamiento no afecta el desempeño del programa, pues se trataron cadenas de 8, 16 y 32 monómeros, y, como se puede observar, todos los resultados caen dentro de la misma línea de comportamiento.

Aunque no se cuenta con datos suficientes para comparar el programa con un equipo de supercómputo, al menos se conoce el rango de la velocidad de proceso del código optimado para el equipo de este tipo, y como es posible observar, el código que aquí se presenta es ligeramente más rápido, para el caso de 512 partículas.

## 5. CONCLUSIONES

Haciendo uso de algoritmos de optimización propuestos anteriormente por un gran número de investigadores, es posible instrumentar un código que genere resultados de forma más eficiente, en comparación con códigos similares que hacen uso de la Dinámica Molecular.

Se hace notar que, a pesar de que este código y el desarrollado por Hall y colaboradores tienen como base los mismos antecedentes y básicamente las mismas rutinas de optimización, la forma de hacer la instrumentación de los algoritmos, permite generar códigos con mejor o más pobre desempeño.

Aun con las velocidades alcanzadas, no es posible simular cadenas de las dimensiones que realmente suceden en la naturaleza, en las que cada molécula polimérica puede contener hasta millones de monómeros.

Aun así, este tipo de algoritmos, puede ser de utilidad para moléculas de tamaño pequeño. Es por esta razón, el interés de generar un código que incluyera todos los algoritmos de simulación presentes, e integrarlos en un programa de Dinámica Molecular.

El siguiente aspecto en el desarrollo del nuevo polímero, corresponde la inclusión de potenciales atractivos del tipo “pozo de potencial”, para permitir la interacción entre moléculas de distinto tipo.

Las modificaciones que sufrirá este código serán las siguientes:

- Permitir distintos tamaños de partículas.
- Permitir por lo tanto distintas masas de partículas.
- Agregar un potencial atractivo para poder simular interacciones entre partículas de distinta naturaleza (i.e. hidrofílicas e hidrofóbicas).

La parte de mayor interés es la elección del modelo a utilizar para el potencial atractivo. El más simple es el pozo de potencial, pero, de ser necesario, es posible generar potenciales más complicados haciéndolos discretos, por medio de funciones más complicadas [10]. Aun así, el código generado en esta tesis puede ser modificado, y de hecho fue planeado para poder instrumentar estas características con mayor facilidad.

## 6. BIBLIOGRAFÍA.

- [1] Rapaport D.C., "The event scheduling problem in molecular dynamic simulation". Journal of Computational Physics. 1980. Vol. 34. p.p. 184-201.
- [2] Allen M.P, Tildesley D.J. "Computer Simulation of liquids". Oxford science publications. 1987.
- [3] Smith S.W., Hall C.K. et al. "Molecular Dynamics for Polymeric Fluids Using Discontinuous Potentials". Journal of Computational Physics. 1997. Vol. 134. p.p. 16-30.
- [4] McQuarrie. Donald A. "Statistical Mechanics". Harper chemistry publishers. 1976. p.p. 1-3,282.
- [5] Smith S.W., Hall C.K. et al. "Molecular Dynamics study of transport coefficients for hard-chain fluids". Journal of Chemical Physics. 1995. Vol. 102. p.p. 1057-1073.
- [6] Alder B.J. y Wainwright T.E. "Studies in Molecular Dynamics. I. General Method". Journal of Chemical Physics. 1959. Vol. 31. p.p. 459-466.



[7] Cormen T.H., Leiserson C.E. et.al. "Introduction to Algorithms". The MIT press. 1996. p.p. 94,95,244-246.

[8] Chiew Y.C. "Percus-Yevic integral equation theory for athermal hard-sphere chains. II Average intermolecular correlation functions". Molecular Physics. Vol 73, No.2. p.p. 359-373.

[9] Denlinger M.A., Hall Carol K. "Molecular-dynamics simulation results for the pressure of hard-chain fluids". Molecular Physics. Vol. 71. No. 3. p.p. 541-559.

[10] Chapela G.A. Martinez-Casas S.E. "Molecular dynamics for discontinuous potentials I. General method and simulation of hard polyatomic molecules". Molecular physics. Vol 53. No. 1. p.p. 139-159.

ESTA TESIS NO DEBE SALIR DE LA BIBLIOTECA

## ANEXO I. "Código desarrollado"

```
program md
implicit none
```

### C VAR

```
integer*4      max_nodes
parameter      (max_nodes=10000)
integer*4      time_list(max_nodes,4)
double precision eventtime(max_nodes)
integer*4      node_type (max_nodes,10)
integer*4      ij
integer*4      counter
double precision new_event_time
integer*4      affected_node, affected_particle
integer*4      free_node, pointer
integer*4      pool_list(max_nodes)
integer*4      max_site, max_chain
double precision min_time
integer*4      max_particle
parameter      (max_particle=10000)
double precision particle(max_particle,9)
integer*4      particle2(max_particle,3)
integer*4      tot_num_par
double precision packing, xbox, ybox, zbox
double precision temperature
integer*4      num_steps
```

### C

---

```
integer*4      chain(max_particle,2)
integer*4      event_counter
character*20   ic_conf_file
INTEGER        N, M, NCELL, MAPSIZ
PARAMETER      ( N = 10000, M = 15, NCELL = M * M * M )
PARAMETER      ( MAPSIZ = 26 * NCELL )
INTEGER        LIST(N), HEAD(NCELL), MAP(MAPSIZ)
double precision bond_length
integer*4      get_min_node, root_var
double precision abs_time, rijDvi, get_v2
double precision vs
integer*4      divisions
integer*4      sampling_rate, num_coil
integer*4      xmol_var, gr_var
double precision subcellsize
```

### C GLOBAL

```
common /sorting_var/ eventtime
common /list/ time_list
common /tree_structure/ node_type
common /new_events/ new_event_time, affected_node,
> affected_particle
common /pool/ pool_list, free_node, pointer
common /box_dim/ packing, xbox, ybox, zbox
common /new_events2/ particle
common /new_events3/ particle2
```

```

common /min_times/ min_time
common /gen_events/ tot_num_par
common /options/ temperature,num_steps
common /chain_structure/ chain
common /global_events/ event_counter
COMMON /BLOCK2 /LIST, HEAD, MAP
common /particle_bond/bond_length
common /absolute_time/ abs_time
common /num/divisions
common /root/ root_var
common /ini_calc/ i
common /pressure/ rijDvi, vs
common /sub_cell_size/ subcellsize

```

```

C BEGIN
abs_time=0d0
rijDvi=0
num_coll=0
vs=0
open(unit=1, file='options',status='unknown')
read(1,*) temperature
read(1,*) num_steps
read(1,*) max_chain
read(1,*) max_site
read(1,*) ic_conf_file
read(1,*) bond_length
read(1,*) sampling_rate
read(1,*) divisions
read(1,*) xmol_var
read(1,*) gr_var
read(1,*) subcellsize
close(unit=1,status='keep')
counter=0
do i=1, max_chain
do j=1, max_site
counter=counter+1
particle2(counter,3)=i
if(j.lt.max_site)then
if(j.eq.1)then
chain(counter,1)=0
chain(counter,2)=counter+1
else
chain(counter,1)=counter-1
chain(counter,2)=counter+1
endif
else
chain(counter,1)=counter-1
chain(counter,2)=0
endif
enddo
enddo
open(unit=1, file=ic_conf_file,status='unknown')
read(1,*) tot_num_par
read(1,*) packing, xbox, ybox, zbox
do i=1, tot_num_par
read(1,*) particle(i,1),particle(i,1),particle(i,2)

```



```

write(10,*)'O',-0.5d0, 0.5d0,-0.5d0
write(10,*)'O', 0.5d0, 0.5d0,-0.5d0
do j=1, tot_num_par
  write(10,*)'I',particle(j,1)/xbox,
:      particle(j,2)/ybox,
:      particle(j,3)/zbox
  enddo
endif

```

C

```

endif
enddo
write(*,*) 'writing a result file'
close(unit=9, status='keep')
close(unit=10, status='keep')
close(unit=11, status='keep')
write(*,*) '=====
write(*,*) '! Some useful quantities'
write(*,*) '!collisions      =',num_coll
write(*,*) '!rate (coll/events) =',real(num_coll)/num_steps
write(*,*) '!<v2>          =',get_v2()
write(*,*) '!Nc          =',max_chain
write(*,*) '!n           =',max_site
write(*,*) '!Z           =',max_site+
:      (rijDvi/abs_time)/(get_v2()*max_chain)

write(*,*) 'end of program'
end

```

C

```

=====
C -----Procedures-----
C -----

```

C

Las siguientes subrutinas son para el manejo del árbol

C

```

subroutine crase_node(d)
implicit none

```

C

```

VAR
integer*4 max_nodes
parameter (max_nodes=10000)
integer*4 node_type(max_nodes,10)
integer*4 s, p, d
integer*4 root_var

```

C

```

GLOBAL
common /tree_structure/node_type
common /root/ root_var

```

C

```

BEGIN
if (node_type(d,4).eq.0) then
  s=node_type(d,1)
else
  if (node_type(d,1).eq.0) then
    s=node_type(d,4)

```

```

else
  if (node_type(node_type(d,4),1).eq.0) then
    s=node_type(d,4)
  else
50    s=node_type(node_type(d,4),1)
      continue
      if (node_type(s,1).ne.0) then
        s=node_type(s,1)
        goto 50
      endif
      if (node_type(s,4).ne.0) then
        node_type(node_type(s,4),3)=node_type(s,3)
      endif
      node_type(node_type(s,3),1)=node_type(s,4)
      node_type(node_type(d,4),3)=s
      node_type(s,4)=node_type(d,4)
      endif
      node_type(node_type(d,1),3)=s
      node_type(s,1)=node_type(d,1)
    endif
  endif
  p=node_type(d,3)
  if (s.ne.0) node_type(s,3)=p
  if (p.ne.0) then
    if (node_type(p,1).eq.d) then
      node_type(p,1)=s
    else
      node_type(p,4)=s
    endif
  else
    root_var=s
  endif
end

```

C \_\_\_\_\_  
subroutine erase\_root\_node(d)  
implicit none

C VAR  
integer\*4 max\_nodes  
parameter (max\_nodes=10000)  
integer\*4 node\_type(max\_nodes,10)  
integer\*4 d, left\_son, right\_son  
integer\*4 root\_var, test\_node

C GLOBAL  
common /tree\_structure/node\_type  
common /root/ root\_var

C BEGIN  
test\_node=node\_type(d,1)  
left\_son=test\_node  
right\_son=node\_type(d,4)  
if(left\_son.ne.0)then  
150 continue  
if(node\_type(test\_node,4).ne.0)then  
test\_node=node\_type(test\_node,4)

```

goto 150
else
if(test_node.eq.node_type(d,1))then
node_type(test_node,3)=0
node_type(test_node,4)=node_type(d,4)
node_type(right_son,3)=test_node
else
node_type(node_type(test_node,3),4)=node_type(test_node,1)
if(node_type(test_node,1).ne.0)then
node_type(node_type(test_node,1),3)=node_type(test_node,3)
endif
node_type(test_node,3)=0
node_type(test_node,4)=node_type(d,4)
node_type(test_node,1)=node_type(d,1)
node_type(right_son,3)=test_node
node_type(left_son,3)=test_node
endif
endif
root_var=test_node
else
root_var=right_son
node_type(right_son,3)=0
endif
end

```

```

C -----
subroutine erase_nodes(part)
implicit none

```

```

C Var
integer*4 part, partb
integer*4 max_particle
parameter (max_particle=10000)
integer*4 particle2(max_particle,3)
integer*4 test_node, next_node
integer*4 max_nodes
parameter (max_nodes=10000)
integer*4 node_type(max_nodes,10)
integer*4 root_var

```

```

C GLOBAL
common /tree_structure/node_type
common /new_events3/ particle2
common /root/ root_var

```

```

C Begin
test_node=particle2(part,1)
if(test_node.ne.0)then
35 continue
if(node_type(test_node,5).eq.part)then
if(node_type(test_node,8).eq.0)then
partb=node_type(test_node,7)
if(partb.ne.0)then
call re_linking(partb, test_node)
endif
if(root_var.eq.test_node)then
call erase_root_node(test_node)

```

```

else
  call erase_node(test_node)
endif
call send_pool(test_node)
else
  next_node=node_type(test_node,8)
  partb=node_type(test_node,7)
  if(partb.ne.0)then
    call re_linking(partb, test_node)
  endif
  if(root_var.eq.test_node)then
    call erase_root_node(test_node)
  else
    call erase_node(test_node)
  endif
  call send_pool(test_node)
  test_node=next_node
  goto 35
endif
else
  if(node_type(test_node,7).eq.part)then
    if(node_type(test_node,9).eq.0)then
      partb=node_type(test_node,5)
      if(partb.ne.0)then
        call re_linking(partb, test_node)
      endif
      if(root_var.eq.test_node)then
        call erase_root_node(test_node)
      else
        call erase_node(test_node)
      endif
      call send_pool(test_node)
    else
      next_node=node_type(test_node,9)
      partb=node_type(test_node,5)
      if(partb.ne.0)then
        call re_linking(partb, test_node)
      endif
      if(root_var.eq.test_node)then
        call erase_root_node(test_node)
      else
        call erase_node(test_node)
      endif
      call send_pool(test_node)
      test_node=next_node
      goto 35
    endif
  endif
endif
endif
particle2(part,1)=0
endif
end

```

C -----  
subroutine init\_pool()  
implicit none



```

C  Var
integer*4 max_nodes
parameter (max_nodes=10000)
integer*4 free_node, pointer
integer*4 pool_list(max_nodes)
integer*4 is

C  GLOBAL
common /pool/ pool_list, free_node, pointer

C  BEGIN
pointer=0
do is=1, max_nodes
  call send_pool(is)
enddo
end

C  -----
subroutine send_pool(d)
implicit none

C  VAR
integer*4 max_nodes
parameter (max_nodes=10000)
integer*4 node_type(max_nodes,10)
integer*4 free_node, pointer
integer*4 pool_list(max_nodes)
double precision eventime(max_nodes)
integer*4 d, is

C  GLOBAL
common /pool/ pool_list, free_node, pointer
common /tree_structure/node_type
common /sorting_var/eventime

C  BEGIN
do is=1,10
  node_type(d,is)=0
enddo
pointer=pointer+1
pool_list(pointer)=d
eventime(d)=0
end

C  -----
subroutine get_pool()
implicit none

C  VAR
integer*4 max_nodes
parameter (max_nodes=10000)
integer*4 free_node, pointer
integer*4 pool_list(max_nodes)

C  GLOBAL
common /pool/ pool_list, free_node, pointer

C  BEGIN

```

```

free_node=pool_list(pointer)
pool_list(pointer)=0
pointer=pointer-1
if (pointer.le.0) then
  write(*,*)'the error was caused because an empty pool'
endif
end

```

```

C
-----
subroutine insert_node(d)
implicit none

C  VAR
integer*4      max_nodes
parameter      (max_nodes=10000)
integer*4      root_var
integer*4      q,d
double precision time
integer*4      node_type(max_nodes,10)
double precision eventtime(max_nodes)
integer*4      pool_list(max_nodes)
integer*4      free_node, pointer
integer*4      error_i
double precision td

C  GLOBAL
common /root/ root_var
common /pool/ pool_list, free_node, pointer
common /tree_structure/ node_type
common /sorting_var/ eventtime
common /avoid_double/ error_i

C  BEGIN
error_i=0
time=eventtime(d)
q=root_var
70 continue
if (time.gt.eventtime(q)) then
  td=eventtime(q)/time
  if(td.gt.0.9999999999999999D0) goto 71
  if (node_type(q,4).eq.0) then
    node_type(d,3)=q
    node_type(q,4)=d
  else
    q=node_type(q,4)
    goto 70
  endif
endif
else
  if(time.le.eventtime(q))then
    if(time.ne.0)then
      td=time/eventtime(q)
      if(td.gt.0.9999999999999999D0) goto 71
    endif
    if (node_type(q,1).eq.0) then
      node_type(d,3)=q
      node_type(q,1)=d
    else

```

```

      q=node_type(q,1)
      goto 70
    endif
  else
71  continue
    call send_pool(d)
    error_j=1
  endif
endif
end

```

```

C -----
C Este es la creación por primera vez del árbol binario
C -----

```

```

subroutine generate_events()
implicit none

```

```

C  VAR
INTEGER      N, M, NCELL, MAPSIZ
PARAMETER    (N = 10000, M = 15, NCELL = M * M * M)
PARAMETER    (MAPSIZ = 26 * NCELL)
INTEGER      LIST(N), HEAD(NCELL), MAP(MAPSIZ)
integer*4    max_nodes
parameter    (max_nodes=10000)
integer*4    is, js, ks, IMAP, center_cell
integer*4    tot_num_par
integer*4    max_particle
parameter    (max_particle=10000)
integer*4    free_node, pointer
integer*4    pool_list(max_nodes)
integer*4    particle2(max_particle,3)
double precision  particle(max_particle,9)
integer*4    coll_type, neighbour, partb
double precision  colltime, coll_time, last_time
integer*4    node_type(max_nodes,10)
integer*4    event_counter
double precision  eventtime(max_nodes)
double precision  c_c_time
double precision  subcellsize
integer*4    root_var
integer*4    error_i
integer*4    divisions
integer*4    i

```

```

C  GLOBAL
common /gen_events/ tot_num_par
common /new_events2/ particle
common /new_events3/ particle2
common /pool/ pool_list, free_node, pointer
common /collision_Type/coll_type
COMMON /BLOCK2 / LIST, HEAD, MAP
common /tree_structure/node_type
common /sorting_var/ eventtime
common /global_events/ event_counter
common /cell_cross/ c_c_time
common /root/ root_var
common /avoid_double/ error_i

```

```

common /num/divisions
common /ini_calc/ i
common /sub_cell_size/ subcellsize

C BEGIN
event_counter=0
do is=1, tot_num_par
  center_cell = particle2(is,2)
  IMAP=(center_cell-1)*26
  last_time=0.5D50
  do js=1,27
    ks=1
600    continue
    if(js.lt.27)then
      if(ks.eq.1)then
        neighbour=MAP(IMAP+js)
        partb=HEAD(neighbour)
        ks=2
      else
        partb=LIST(partb)
      endif
    else
      if(ks.eq.1)then
        partb=HEAD(center_cell)
        ks=2
      else
        partb=LIST(partb)
      endif
    endif
    if(partb.eq.is)then
      goto 500
    endif
  endif

  if (partb.ne.0) then
    coll_time=colltime(is,partb)
    if(coll_time.lt.1.0D50)then
      call get_pool()
      event_counter=event_counter+1
      node_type(free_node,5)=is
      node_type(free_node,6)=coll_type
      node_type(free_node,7)=partb
      eventime(free_node)=coll_time
      if(root_var.eq.0)then
        root_var=free_node
      else
        call insert_node(free_node)
      endif
      if(error_i.ne.1)then
        call update_circ_link(is,free_node,1)
        call update_circ_link(partb,free_node,2)
      endif
    endif
  endif
500  continue
  if(partb.ne.0)then

```

```

    if(LIST(partb).ne.0)then
      goto 600
    endif
  endif
enddo
call cell_crossing(is)
call get_pool()
event_counter=event_counter+1
node_type(free_node,5)=is
node_type(free_node,6)=3
node_type(free_node,7)=0
eventtime(free_node)=c_c_time
if(root_var.eq.0)then
  root_var=free_node
else
  call insert_node(free_node)
endif
if(error_i.ne.1)then
  call update_circ_link(is,free_node,1)
endif
enddo
end

```

C

---

```

subroutine init_circ_link()
implicit none

```

C

```

var
integer*4    tot_num_par
integer*4    is
integer*4    max_particle
parameter    (max_particle=10000)
integer*4    particle2(max_particle,3)

```

C

```

Global
common /new_events3/ particle2
common /gen_events/ tot_num_par

```

C

```

Begin
do is=1,tot_num_par
  particle2(is,1)=0
enddo
end

```

C

---

```

subroutine update_circ_link(plink,node_num,type)
implicit none

```

C

```

Var
integer*4    max_particle
integer*4    max_nodes
parameter    (max_nodes=10000)
parameter    (max_particle=10000)
integer*4    particle2(max_particle,3)
integer*4    plink,node_num,tst_node
integer*4    node_type(max_nodes,10)
integer*4    type
double precision eventtime(max_nodes)

```

```

C Global
common /new_events3/ particle2
common /tree_structure/ node_type
common /sorting_var/ eventtime

C Begin
if(particle2(plink,1).eq.0)then
  if(type.eq.1)then
    node_type(node_num,2)=0
  else
    node_type(node_num,10)=0
  endif
else
  test_node=particle2(plink,1)
  if(node_type(test_node,5).eq.plink)then
    node_type(test_node,2)=node_num
    if(type.eq.1)then
      node_type(node_num,2)=0
      node_type(node_num,8)=test_node
    else
      node_type(node_num,9)=test_node
      node_type(node_num,10)=0
    endif
  else
    if(node_type(test_node,7).eq.plink)then
      node_type(test_node,10)=node_num
      if(type.eq.2)then
        node_type(node_num,9)=test_node
        node_type(node_num,10)=0
      else
        node_type(node_num,2)=0
        node_type(node_num,8)=test_node
      endif
    else
      write(*,*)'in this node the particle',plink,
        'is not present'
    endif
  endif
endif
particle2(plink,1)=node_num
end

C
subroutine ini_vel(tempe)
implicit none

external drand48

C VAR
integer*4 is
integer*4 tot_num_par
double precision drand48
double precision m, v
double precision tempe
double precision gausran
integer*4 max_particle

```

```

parameter      (max_particle=10000)
double precision  particle(max_particle,9)

C  GLOBAL
common /gen_events/ tot_num_par
common /new_events2/  particle

C  BEGIN
m=0.0d0
v=sqrt(tempe)*0.001d0
write(*,*)'Initializing trajectories'
do is=1, tot_num_par
  particle(is,4)=gausran(v,m)
  particle(is,5)=gausran(v,m)
  particle(is,6)=gausran(v,m)
enddo
end

C  -----
subroutine collision (sub_node)
implicit none

C  VAR
INTEGER      N, M, NCELL, MAPSIZ
PARAMETER    (N=10000,M=15,NCELL=M*M*M)
PARAMETER    (MAPSIZ=26*NCELL)
INTEGER      LIST(N), HEAD(NCELL), MAP(MAPSIZ)
integer*4    is
integer*4    max_particle, partb
integer*4    max_nodes
parameter    (max_particle=10000)
parameter    (max_nodes=10000)
double precision  particle(max_particle,9)
integer*4    particle2(max_particle,3)
integer*4    node_type(max_nodes,10)
double precision  dt1, dt2
double precision  rx1, ry1, rz1, rx2, ry2, rz2
double precision  packing, xbox, ybox, zbox
double precision  abs_time
double precision  eventtime(max_nodes)

integer*4    sub_node
double precision  rijx, rijy, rijz
double precision  vijx, vijy, vijz, dia2
double precision  bij, bond_length
double precision  dvcollx, dvcolly, dvcollz
integer*4    event_type
integer*4    old_cell, new_cell

integer*4    s, d, p
integer*4    divisions
double precision  divt, rijDvi, vs

C  GLOBAL
common /new_events2/ particle
common /new_events3/ particle2
COMMON / BLOCK2 / LIST, HEAD, MAP

```

```

common /box_dim/ packing, xbox, ybox, zbox
common /tree_structure/ node_type
common /absolute_time/ abs_time
common /sorting_var/ eventtime
common /particle_bond/bond_length
common /num/divisions
common /pressure/ rijDvi, vs

```

```

C BEGIN
divt=dbl(divisions)
is=node_type(sub_node,5)
partb=node_type(sub_node,7)
abs_time=eventtime(sub_node)
event_type=node_type(sub_node,6)
dt1=abs_time-particle(is,7)
dt2=abs_time-particle(partb,7)

! update positions
rx1=particle(is,1)+particle(is,4)*dt1
ry1=particle(is,2)+particle(is,5)*dt1
rz1=particle(is,3)+particle(is,6)*dt1
rx2=particle(partb,1)+particle(partb,4)*dt2
ry2=particle(partb,2)+particle(partb,5)*dt2
rz2=particle(partb,3)+particle(partb,6)*dt2

! minimum image (remember that the coordinates are reduced)
! coordinates (from -0.5 to 0.5)
rx1=(rx1/xbox-anint(rx1/xbox))*xbox
ry1=(ry1/ybox-anint(ry1/ybox))*ybox
rz1=(rz1/zbox-anint(rz1/zbox))*zbox
rx2=(rx2/xbox-anint(rx2/xbox))*xbox
ry2=(ry2/ybox-anint(ry2/ybox))*ybox
rz2=(rz2/zbox-anint(rz2/zbox))*zbox

! Storing the new positions in the particle array
particle(is,1)=rx1
particle(is,2)=ry1
particle(is,3)=rz1
particle(partb,1)=rx2
particle(partb,2)=ry2
particle(partb,3)=rz2

! Set in new cells, and empty old cells
old_cell=particle2(is,2)

s=0
d=HEAD(old_cell)
p=LIST(d)
200 continue
if(d.ne.is)then
s=d
d=p
p=LIST(d)
goto 200
endif
if(s.eq.0)then
HEAD(old_cell)=p
else
LIST(s)=p

```



```

endif
LIST(d)=0
particle2(is,2)=1+INT((rx1/xbox+0.5d0)*divt)
:      +INT((ry1/ybox+0.5d0)*divt)*divisions
:      +INT((rz1/zbox+0.5d0)*divt)*divisions**2
new_cell=particle2(is,2)
d=HEAD(new_cell)
if(d.eq.0)then
  HEAD(new_cell)=is
else
201  continue
    if(LIST(d).ne.0)then
      d=LIST(d)
      goto 201
    else
      LIST(d)=is
    endif
endif

old_cell=particle2(partb,2)
s=0
d=HEAD(old_cell)
p=LIST(d)
300  continue
    if(d.ne.partb)then
      s=d
      d=p
      p=LIST(d)
      goto 300
    endif
    if(s.eq.0)then
      HEAD(old_cell)=p
    else
      LIST(s)=p
    endif
    LIST(d)=0
    particle2(partb,2)=1+INT((rx2/xbox+0.5d0)*divt)
:      +INT((ry2/ybox+0.5d0)*divt)*divisions
:      +INT((rz2/zbox+0.5d0)*divt)*divisions**2
new_cell=particle2(partb,2)
d=HEAD(new_cell)
if(d.eq.0)then
  HEAD(new_cell)=partb
else
301  continue
    if(LIST(d).ne.0)then
      d=LIST(d)
      goto 301
    else
      LIST(d)=partb
    endif
endif

! Set new local times
particle(is,7)=abs_time
particle(partb,7)=abs_time

```

! calculate the change in velocity for a collision

```
rijx=(rx1-rx2)/xbox  
rijy=(ry1-ry2)/ybox  
rijz=(rz1-rz2)/zbox
```

```
rijx=(rijx-aint(rijx))*xbox  
rijy=(rijy-aint(rijy))*ybox  
rijz=(rijz-aint(rijz))*zbox
```

```
vijx=particle(is,4)-particle(partb,4)  
vijy=particle(is,5)-particle(partb,5)  
vijz=particle(is,6)-particle(partb,6)
```

```
bij=nix*vijx+rijy*vijy+rijz*vijz
```

```
if(event_type.eq.1)then
```

```
  dvcollx=-(bij*rijx)  
  dvcolly=-(bij*rijy)  
  dvcollz=-(bij*rijz)
```

```
else
```

```
  dia2=1.0d0+bond_length  
  dia2=1.0d0/dia2**2  
  dvcollx=-(bij*rijx*dia2)  
  dvcolly=-(bij*rijy*dia2)  
  dvcollz=-(bij*rijz*dia2)
```

```
endif
```

```
particle(is,4)=particle(is,4)+dvcollx  
particle(partb,4)=particle(partb,4)-dvcollx  
particle(is,5)=particle(is,5)+dvcolly  
particle(partb,5)=particle(partb,5)-dvcolly  
particle(is,6)=particle(is,6)+dvcollz  
particle(partb,6)=particle(partb,6)-dvcollz
```

C-----pressure calculation-----

```
rijDvi=rijDvi+(rijx*dvcollx+rijy*dvcolly+rijz*dvcollz)  
vs=vs+particle(is,4)**2+particle(is,5)**2+particle(is,6)**2
```

```
call erase_nodes(is)  
call erase_nodes(partb)  
call calculate_single_part(is)  
call calculate_single_part(partb)
```

end

C-----  
C Las subrutinas MPAS & LINKS son de un archivo de utilerías  
C de Allen (referencia incluida en bibliografía) y la  
C función ICELL, esta tomada de archivos del Profesor  
C Juan dePablo de la Universidad de Wisconsin-Madison  
C-----

SUBROUTINE MAPS

implicit none

C Var  
INTEGER N, M, NCELL, MAPSIZ

```

PARAMETER      (N=10000,M=15,NCELL=M*M*M)
PARAMETER      (MAPSIZ = 26 * NCELL )
INTEGER        HEAD(NCELL), LIST(N), MAP(MAPSIZ)
INTEGER        IX, IY, IZ, IMAP
INTEGER        ICELL
double precision packing, xbox, ybox, zbox
integer*4      divisions

```

```

C Global
COMMON / BLOCK2 / LIST, HEAD, MAP
common /box_dim/packing, xbox, ybox, zbox
common /num/divisions

```

```

C Begin
DO IZ = 1,divisions
  DO IY = 1,divisions
    DO IX = 1,divisions
      IMAP = ( ICELL (IX,IY,IZ,divisions) - 1 ) * 26
      MAP(IMAP+1) = ICELL(IX+1,IY ,IZ ,divisions)
      MAP(IMAP+2) = ICELL(IX+1,IY+1,IZ ,divisions)
      MAP(IMAP+3) = ICELL(IX ,IY+1,IZ ,divisions)
      MAP(IMAP+4) = ICELL(IX-1,IY+1,IZ ,divisions)
      MAP(IMAP+5) = ICELL(IX+1,IY ,IZ-1,divisions)
      MAP(IMAP+6) = ICELL(IX+1,IY+1,IZ-1,divisions)
      MAP(IMAP+7) = ICELL(IX ,IY+1,IZ-1,divisions)
      MAP(IMAP+8) = ICELL(IX-1,IY+1,IZ-1,divisions)
      MAP(IMAP+9) = ICELL(IX+1,IY ,IZ+1,divisions)
      MAP(IMAP+10) = ICELL(IX+1,IY+1,IZ+1,divisions)
      MAP(IMAP+11) = ICELL(IX ,IY+1,IZ+1,divisions)
      MAP(IMAP+12) = ICELL(IX-1,IY+1,IZ+1,divisions)
      MAP(IMAP+13) = ICELL(IX ,IY ,IZ+1,divisions)
      MAP(IMAP+14) = ICELL(IX ,IY ,IZ-1,divisions)
      MAP(IMAP+15) = ICELL(IX-1,IY ,IZ-1,divisions)
      MAP(IMAP+16) = ICELL(IX-1,IY ,IZ ,divisions)
      MAP(IMAP+17) = ICELL(IX-1,IY ,IZ+1,divisions)
      MAP(IMAP+18) = ICELL(IX+1,IY-1,IZ-1,divisions)
      MAP(IMAP+19) = ICELL(IX+1,IY-1,IZ ,divisions)
      MAP(IMAP+20) = ICELL(IX+1,IY-1,IZ+1,divisions)
      MAP(IMAP+21) = ICELL(IX ,IY-1,IZ-1,divisions)
      MAP(IMAP+22) = ICELL(IX ,IY-1,IZ ,divisions)
      MAP(IMAP+23) = ICELL(IX ,IY-1,IZ+1,divisions)
      MAP(IMAP+24) = ICELL(IX-1,IY-1,IZ-1,divisions)
      MAP(IMAP+25) = ICELL(IX-1,IY-1,IZ ,divisions)
      MAP(IMAP+26) = ICELL(IX-1,IY-1,IZ+1,divisions)
    ENDDO
  ENDDO
ENDDO
write(*,*)'Mapping done'
END

```

```

C -----
SUBROUTINE LINKS
implicit none

```

```

C VAR
INTEGER      N, M, NCELL, MAPSIZ
PARAMETER    (N=10000,M=15,NCELL=M*M*M)

```

```

PARAMETER      ( MAPSIZ = 26 * NCELL )
INTEGER        HEAD(NCELL), LIST(N), MAP(MAPSIZ)
double precision  CELLI
INTEGER        ICELL, I
integer*4       tot_num_par
integer*4       max_particle
parameter      (max_particle=10000)
double precision particle(max_particle,9)
integer*4       particle2(max_particle,3)
double precision packing, xbox, ybox, zbox
integer*4       divisions, d

C  GLOBAL
COMMON / BLOCK2 / LIST, HEAD, MAP
common /gen_events/ tot_num_par
common /new_events2/ particle
common /new_events3/ particle2
common /box_dim/ packing, xbox, ybox, zbox
common /num/divisions

C  BEGIN
DO ICELL = 1, NCELL
  HEAD(ICELL) = 0
ENDDO
CELLI = dble(divisions)
C  ** SORT ALL ATOMS **
DO I = 1, tot_num_par
  ICELL=1+INT((particle(I,1)/xbox+0.5d0)*CELLI)
:   +INT((particle(I,2)/ybox+0.5d0)*CELLI)*divisions
:   +INT((particle(I,3)/zbox+0.5d0)*CELLI)*divisions**2
  if(HEAD(ICELL).ne.0)then
    d=HEAD(ICELL)
110  continue
    if(LIST(d).eq.0)then
      LIST(d) = I
    else
      d=LIST(d)
      goto 110
    endif
  else
    HEAD(ICELL) = I
  endif
  particle2(I,2)=ICELL
ENDDO
END

C  -----
subroutine cell_crossing(p)
implicit none

C  Var
integer*4       p
integer*4       max_particle
parameter      (max_particle=10000)
double precision wall, c_c_time, dist
double precision particle(max_particle,9)
double precision timex, timey, timez

```

```

double precision subcellsize

C Global
common /new_events2/ particle
common /cell_crosss/ c_c_time
common /sub_cell_size/ subcellsize

C Begin
C -----X coordinate-----
if(particle(p,4).lt.0)then
  if(particle(p,1).gt.0)then
    wall=int(particle(p,1)/subcellsize)*subcellsize
  else
    wall=int(particle(p,1)/subcellsize-1.0d0)*subcellsize
  endif
else
  if(particle(p,1).gt.0)then
    wall=int(particle(p,1)/subcellsize+1.0d0)*subcellsize
  else
    wall=int(particle(p,1)/subcellsize)*subcellsize
  endif
endif
dist=1.0d-10+abs(wall-particle(p,1))
time_x=dist/abs(particle(p,4))
C -----Y coordinate-----
if(particle(p,5).lt.0)then
  if(particle(p,2).gt.0)then
    wall=int(particle(p,2)/subcellsize)*subcellsize
  else
    wall=int(particle(p,2)/subcellsize-1.0d0)*subcellsize
  endif
else
  if(particle(p,2).gt.0)then
    wall=int(particle(p,2)/subcellsize+1.0d0)*subcellsize
  else
    wall=int(particle(p,2)/subcellsize)*subcellsize
  endif
endif
dist=1.0d-10+abs(wall-particle(p,2))
time_y=dist/abs(particle(p,5))

if(time_x.lt.time_y)then
  c_c_time=time_x
else
  c_c_time=time_y
endif
C -----Z coordinate-----
if(particle(p,6).lt.0)then
  if(particle(p,3).gt.0)then
    wall=int(particle(p,3)/subcellsize)*subcellsize
  else
    wall=int(particle(p,3)/subcellsize-1.0d0)*subcellsize
  endif
else
  if(particle(p,3).gt.0)then
    wall=int(particle(p,3)/subcellsize+1.0d0)*subcellsize

```

```

else
  wall=int((particle(p,3)/subcellsize)*subcellsize)
endif
endif
dist=1.0d-10+abs(wall-particle(p,3))
timez=dist/abs(particle(p,6))
if(timez.lt.c_c_time)then
  c_c_time=timez
endif
c_c_time=c_c_time+particle(p,7)
end

```

C -----  
subroutine cell\_cross(node)  
implicit none

C Var  
INTEGER N, M, NCELL, MAPSIZ  
PARAMETER (N=10000,M=15,NCELL=M\*M\*M)  
PARAMETER (MAPSIZ = 26 \* NCELL )  
INTEGER HEAD(NCELL), LIST(N), MAP(MAPSIZ)  
integer\*4 node  
integer\*4 max\_particle  
integer\*4 max\_nodes  
parameter (max\_particle=10000)  
parameter (max\_nodes=10000)  
integer\*4 particle2(max\_particle,3)  
integer\*4 node\_type(max\_nodes,10)  
double precision particle(max\_particle,9)  
double precision eventtime(max\_nodes)  
integer\*4 root\_var  
integer\*4 pool\_list(max\_nodes)  
integer\*4 free\_node, pointer  
  
double precision rx, ry, rz  
integer\*4 part  
integer\*4 old\_cell, new\_cell  
double precision abs\_time  
double precision tdiff  
double precision packing, xbox, ybox, zbox  
  
integer\*4 s, d, p  
integer\*4 divisions  
double precision divt

C Global  
common /new\_events2/ particle  
common /new\_events3/ particle2  
common /tree\_structure/ node\_type  
common /sorting\_var/ eventtime  
common /absolute\_time/ abs\_time  
common /BLOCK2/ LIST, HEAD, MAP  
common /box\_dim/ packing, xbox, ybox, zbox  
common /root/ root\_var  
common /pool/ pool\_list, free\_node, pointer  
common /num/divisions

```

C   Begin
      divt=dbl(divisions)
      part=node_type(node,5)
      tdiff=eventtime(node)-particle(part,7)
      abs_time=eventtime(node)
      particle(part,7)=eventtime(node)
      rx=particle(part,1)+particle(part,4)*tdiff
      ry=particle(part,2)+particle(part,5)*tdiff
      rz=particle(part,3)+particle(part,6)*tdiff
      rx=(rx/xbox-anint(rx/xbox))*xbox
      ry=(ry/ybox-anint(ry/ybox))*ybox
      rz=(rz/zbox-anint(rz/zbox))*zbox
      particle(part,1)=rx
      particle(part,2)=ry
      particle(part,3)=rz
      old_cell=particle2(part,2)

      s=0
      d=HEAD(old_cell)
      p=LIST(d)
400  continue
      if(d.ne.part)then
          s=d
          d=p
          p=LIST(d)
          goto 400
      endif
      if(s.eq.0)then
          HEAD(old_cell)=p
      else
          LIST(s)=p
      endif
      LIST(d)=0
      particle2(part,2)=1+INT((rx/xbox+0.5d0)*divt)
      :           +INT((ry/ybox+0.5d0)*divt)*divisions
      :           +INT((rz/zbox+0.5d0)*divt)*divisions**2
      new_cell=particle2(part,2)
      d=HEAD(new_cell)
      if(d.eq.0)then
          HEAD(new_cell)=part
      else
401  continue
          if(LIST(d).ne.0)then
              d=LIST(d)
              goto 401
          else
              LIST(d)=part
          endif
      endif
      call erase_nodes_cc(part,node)
      call calculate_single_part(part)
      end

C   -----
      subroutine re_linking(partb, no)
      implicit none

```

```

C  VAR
integer*4  max_nodes
integer*4  max_particle
parameter (max_particle=10000)
parameter (max_nodes=10000)
integer*4  node_type(max_nodes,10)
integer*4  particle2(max_particle,3)
double precision eventtime(max_nodes)
integer*4  no, partb
integer*4  ol_nc_li
integer*4  ol_la_li
integer*4  test_node
integer*4  chk_lnk, chk_typ

C  Global
common /tree_structure/ node_type
common /new_events3/ particle2
common /sorting_var/ eventtime

C  Begin
test_node=particle2(partb,1)
chk_lnk=0
25  continue
   if(test_node.ne.0)then
     if(test_node.eq.no)then
       if(node_type(test_node,5).eq.partb)then
         ol_nc_li=node_type(test_node,8)
         ol_la_li=node_type(test_node,2)
       else
         if(node_type(test_node,7).eq.partb)then
           ol_nc_li=node_type(test_node,9)
           ol_la_li=node_type(test_node,10)
         else
           write(*,*)'parta: ',node_type(test_node,5),
:             'partb: ',node_type(test_node,7),
:             'should not be here in part: ',partb,
:             'link'
           endif
         endif
       endif

       if(chk_lnk.eq.0)then
         particle2(partb,1)=ol_nc_li
       else
         if(chk_typ.eq.1)then
           node_type(chk_lnk,8)=ol_nc_li
         else
           if(chk_typ.eq.2)then
             node_type(chk_lnk,9)=ol_nc_li
           else
             write(*,*)'node corrections doesnt work'
           endif
         endif
       endif
     endif

     if(ol_nc_li.ne.0)then

```



```

if(node_type(ol_ne_li,5).eq.partb)then
  node_type(ol_ne_li,2)=ol_la_li
else
  if(node_type(ol_ne_li,7).eq.partb)then
    node_type(ol_ne_li,10)=ol_la_li
  else
    write(*,*)'Error in next link, part: ',
      node_type(ol_ne_li,5),'or part',
      node_type(ol_ne_li,7),'must be part: ',partb,
      'time: ',eventtime(ol_ne_li)
    write(*,*)'last error relinking node: ',no
  endif
endif
endif
endif
else
  if(node_type(test_node,5).eq.partb)then
    ol_ne_li=node_type(test_node,8)
    chk_typ=1
  else
    ol_ne_li=node_type(test_node,9)
    chk_typ=2
    if(node_type(test_node,7).ne.partb)then
      write(*,*)'sending to a unknown node'
    endif
  endif
  chk_lnk=test_node
  test_node=ol_ne_li
  goto 25
endif
else
  write(*,*)'hey, end reached, without finding partb'
endif
end

```

C -----

```

subroutine calculate_single_part(pa)
implicit none

```

```

C  VAR
INTEGER      N, M, NCELL, MAPSIZ
PARAMETER    ( N = 10000, M = 15, NCELL = M * M * M )
PARAMETER    ( MAPSIZ = 26 * NCELL )
INTEGER      LIST(N), HEAD(NCELL), MAP(MAPSIZ)
integer*4    max_nodes
parameter    (max_nodes=10000)
integer*4    js, ks, IMAP, center_cell
integer*4    tot_num_par
integer*4    max_particle
parameter    (max_particle=10000)
integer*4    free_node, pointer
integer*4    pool_list(max_nodes)
integer*4    particle2(max_particle,3)
integer*4    coll_type, neighbour, partb
double precision colltime, coll_time, last_time
integer*4    node_type(max_nodes,10)
integer*4    eventl_counter
double precision eventtime(max_nodes)

```

```

double precision c_c_time
double precision abs_time, td
double precision subcellsize
integer*4    root_var
integer*4    pa
integer*4    error_i

```

C GLOBAL

```

common /gen_events/ tot_num_par
common /new_events3/ particle2
common /pool/ pool_list, free_node, pointer
common /collision_Type/coll_type
COMMON /BLOCK2 / LIST, HEAD, MAP
common /tree_structure/node_type
common /sorting_var/ eventime
common /global_events/ event_counter
common /cell_crosss/ c_c_time
common /root/ root_var
common /avoid_double/ error_i
common /absolute_time/ abs_time
common /sub_cell_size/ subcellsize

```

C BEGIN

```

center_cell = particle2(pa,2)
IMAP=(center_cell-1)*26
last_time=0.5D50
do js=1,27
  ks=1

```

```

601 continue
  if(js.lt.27)then
    if(ks.eq.1)then
      neighbour=MAP(IMAP+js)
      partb=HEAD(neighbour)
      ks=2
    else
      partb=LIST(partb)
    endif
  else
    if(ks.eq.1)then
      partb=HEAD(center_cell)
      ks=2
    else
      partb=LIST(partb)
    endif
    if(partb.eq.pa)then
      goto 501
    endif
  endif
  if (partb.ne.0) then
    coll_time=colltime(pa,partb)
    if(abs_time.eq.0)then
      |td=0.5
    else
      |td=coll_time/abs_time
    endif
    if((td.lt.0.999999999d0).or.(td.gt.1.000000001))then

```

```

if(coll_time.lt.1.0D50)then
  call get_pool()
  event_counter=event_counter+1
  node_type(free_node,5)=pa
  node_type(free_node,6)=coll_type
  node_type(free_node,7)=partb
  eventime(free_node)=coll_time
  call insert_node(free_node)
  if(error_i.ne.1)then
    call update_circ_link(pa,free_node,1)
    call update_circ_link(partb,free_node,2)
  endif
endif
endif
endif
501 continue
if(partb.ne.0)then
  if(LIST(partb).ne.0)then
    goto 601
  endif
endif
enddo
call cell_crossing(pa)
call get_pool()
event_counter=event_counter+1
node_type(free_node,5)=pa
node_type(free_node,6)=3
node_type(free_node,7)=0
eventime(free_node)=c_c_time
call insert_node(free_node)
if(error_i.ne.1)then
  call update_circ_link(pa,free_node,1)
endif
end

```

C -----  
subroutine erase\_nodes\_cc(part,no)  
implicit none

C Var  
integer\*4 part  
integer\*4 max\_particle  
parameter (max\_particle=10000)  
integer\*4 particle2(max\_particle,3)  
integer\*4 test\_node  
integer\*4 max\_nodes  
parameter (max\_nodes=10000)  
integer\*4 node\_type(max\_nodes,10)  
integer\*4 pool\_list(max\_nodes)  
integer\*4 root\_var,no  
integer\*4 free\_node, pointer

C GLOBAL  
common /tree\_structure/ node\_type  
common /new\_events3/ particle2  
common /root/ root\_var

```

common /pool/ pool_list, free_node, pointer

C Begin
test_node=particle2(part,1)
if(test_node.ne.0)then
75 continue
if(node_type(test_node,5).eq.part)then
if(test_node.eq.no)then
call re_linking(part,no)
if(root_var.eq.test_node)then
call erase_root_node(test_node)
else
call erase_node(test_node)
endif
call send_pool(test_node)
else
test_node=node_type(test_node,8)
if(test_node.eq.0)then
write(*,*)'hey sending to node zero'
endif
goto 75
endif
else
if(node_type(test_node,7).eq.part)then
test_node=node_type(test_node,9)
if(test_node.eq.0)then
write(*,*)'hey sending to node zero'
endif
goto 75
endif
endif
endif
end

C -----
subroutine update_all_positions()
implicit none

C Var
integer*4 max_particle
parameter (max_particle=10000)
double precision particle(max_particle,9)
double precision rx, ry, rz
double precision abs_time
double precision tdiff
double precision packing, xbox, ybox, zbox
integer*4 tot_num_par, is

C Global
common /box_dim/ packing, xbox, ybox, zbox
common /new_events2/ particle
common /absolute_time/ abs_time
common /gen_events/ tot_num_par

C Begin
do is=1, tot_num_par
tdiff=abs_time-particle(is,7)

```

```

rx=particle(is,1)+particle(is,4)*tdiff
ry=particle(is,2)+particle(is,5)*tdiff
rz=particle(is,3)+particle(is,6)*tdiff
rx=(rx/xbox-anim(rx/xbox))*xbox
ry=(ry/ybox-anim(ry/ybox))*ybox
rz=(rz/zbox-anim(rz/zbox))*zbox
particle(is,1)=rx
particle(is,2)=ry
particle(is,3)=rz
particle(is,7)=abs_time
enddo
end

```

C  
C  
C

---

FUNCTIONES

---

```

double precision function gausran(v, m)
implicit none

```

```

external drand48

```

C

```

VAR
double precision drand48
double precision m, v
double precision fac, gsct, rsq, v1, v2

```

C

```

BEGIN
1 v1=2.0*drand48()-1.0d0
v2=2.0*drand48()-1.0d0
rsq=v1**2+v2**2
if (rsq.ge.1.0 .or. rsq.eq.0.0) goto 1
fac=sqrt(-2.0d0*dlog(rsq)/rsq)
gsct=v1*fac
gausran=v2*fac*v+m
end

```

C

```

double precision function colltime(parta, partb)
implicit none

```

C

```

Var
integer*4 max_particle
parameter (max_particle=10000)
double precision particle(max_particle,9)
double precision vijx, vijy, vijz
double precision rijx, rijy, rijz
double precision tdiff, bij, rij2, vij2
integer*4 parta, partb
integer*4 coll_type
integer*4 chain(max_particle,2)
double precision bond_length, t1, min_time, t
double precision packing, xbox, ybox, zbox
integer*4 i

```

C

```

Global
common /box_dim/ packing, xbox, ybox, zbox
common /new_events2/ particle
common /collision_Type/coll_type

```

```

common /particle_bond/ bond_length
common /chain_structure/ chain
common /ini_calc/ i

```

```

C Begin
min_time=1.0D50
tdiff=particle(parta,7)-particle(partb,7)
if (tdiff.lt.0.0d0) then
  tdiff=-tdiff
  rijx=particle(parta,1)+particle(parta,4)*tdiff-
  > particle(partb,1)
  rijy=particle(parta,2)+particle(parta,5)*tdiff-
  > particle(partb,2)
  rijz=particle(parta,3)+particle(parta,6)*tdiff-
  > particle(partb,3)
  colltime=particle(parta,7)
else
  rijx=particle(parta,1)-(particle(partb,4)*tdiff+
  > particle(partb,1))
  rijy=particle(parta,2)-(particle(partb,5)*tdiff+
  > particle(partb,2))
  rijz=particle(parta,3)-(particle(partb,6)*tdiff+
  > particle(partb,3))
  colltime=particle(parta,7)
endif
rijx=(rijx/xbox-aint(rijx/xbox))*xbox
rijy=(rijy/ybox-aint(rijy/ybox))*ybox
rijz=(rijz/zbox-aint(rijz/zbox))*zbox

vijx=particle(parta,4)-particle(partb,4)
vijy=particle(parta,5)-particle(partb,5)
vijz=particle(parta,6)-particle(partb,6)

bij = rijx*vijx+rijy*vijy+rijz*vijz
rij2=rijx**2+rijy**2+rijz**2
vij2=vijx**2+vijy**2+vijz**2

if(bij.lt.0.0d0)then
  t = bij**2-vij2*(rij2-0.999999999999d0)
  if(t.ge.0.0d0)then
    t=(-bij-dsqrt(t))/vij2
    if((t.ge.0.0d0).and.(t.lt.min_time))then
      min_time=t
      coll_type=1
    endif
  endif
endif

if((partb.eq.chain(parta,1)).or.
  > (partb.eq.chain(parta,2)))then
  t1=(1.0d0+bond_length)**2
  t1=bij**2-vij2*(rij2-t1)
  if(t1.ge.0.0d0)then
    t1=(-bij+dsqrt(t1))/vij2
    if((t1.ge.0.0d0).and.(t1.lt.min_time))then
      min_time=t1
    endif
  endif
endif

```

```

coll_type=2
endif
endif
endif
colltime=colltime+min_time
end
C
-----
INTEGER FUNCTION ICELL(IX,IY,IZ,MC)
implicit none
C VAR
integer*4 IX, IY, IZ, MC
ICELL = 1 + MOD ( IX - 1 + MC, MC )
> + MOD ( IY - 1 + MC, MC ) * MC
> + MOD ( IZ - 1 + MC, MC ) * MC * MC
C RETURN
END
C
-----
integer*4 function get_min_node()
implicit none
C Var
integer*4 max_nodes
parameter (max_nodes=10000)
integer*4 node_type(max_nodes,10)
integer*4 root_var, q
double precision eventime(max_nodes)
C Global
common /tree_structure/node_type
common /root/root_var
common /sorting_var/ eventime
C Begin
q=root_var
120 continue
if(node_type(q,1).ne.0)then
q=node_type(q,1)
goto 120
endif
get_min_node=q
end
C
-----
double precision function get_v2()
implicit none
C Var
integer*4 max_particle
parameter (max_particle=10000)
double precision particle(max_particle,9)
integer*4 tot_num_par, is
integer*4 num_coll
C Global
common /new_events2/ particle
common /gen_events/ tot_num_par

```

```
C Begin
  get_v2=0
  do is=1, tot_num_par
    get_v2=get_v2+(particle(is,4)**2+particle(is,5)**2+
:   particle(is,6)**2)/tot_num_par
  enddo
end
```